

# مجله علوم و صنایع غذایی ایران



سایت مجله: [www.fsct.modares.ac.ir](http://www.fsct.modares.ac.ir)

مقاله علمی\_پژوهشی

## بهینه‌سازی فرمولاسیون پاستیل رژیمی غنی‌شده حاوی ریزجلک اسپیرولینا پلاتنسیس با استفاده از جایگزینی ساکارز با استویوزید-ایزومالت و ژلاتین با صمع فارسی به روش سطح پاسخ (RSM)

مینا عبدالعظيمی<sup>۱</sup>، محمد گلی<sup>۲\*۳</sup>

۱- کارشناس ارشد گروه علوم و صنایع غذایی، واحد اصفهان (خوارسگان)، دانشگاه آزاد اسلامی، اصفهان، ایران.

۲- دانشیار گروه علوم و صنایع غذایی، واحد اصفهان (خوارسگان)، دانشگاه آزاد اسلامی، اصفهان، ایران.

۳- دانشیار مرکز تحقیقات لیزر و بیوفوتونیک در فناوریهای زیستی، واحد اصفهان (خوارسگان)، دانشگاه آزاد اسلامی، اصفهان، ایران.

### چکیده

### اطلاعات مقاله

تاریخ های مقاله :

تاریخ دریافت: ۱۴۰۰/۰۴/۱۵

تاریخ پذیرش: ۱۴۰۰/۰۶/۰۲

به منظور کاهش قند مصرفی در تهیه پاستیل و ارتقاء ارزش غذایی آن با استفاده از ریزجلک اسپیرولینا پلاتنسیس، اثر جایگزینی شکر با استویوزید-ایزومالت، جایگزینی ژلاتین با صمع فارسی و اثر استفاده از اسپیرولینا به عنوان یک ترکیب عملکر بر روی خصوصیات فیزیکوشیمیابی و بافتی پاستیل بررسی گردید. به منظور بهینه‌یابی شرایط تولید پاستیل رژیمی غنی‌سازی شده، از روش سطح پاسخ در قالب طرح مرکزی در ۵ سطح جایگزینی شکر با استویوزید-ایزومالت (۰، ۲۵، ۵۰، ۷۵ و ۱۰۰٪)، جایگزینی ژلاتین با صمع فارسی (۰، ۲۵، ۵۰، ۷۵ و ۱۰۰٪) و اسپیرولینا (۰، ۰/۲۵، ۰/۵ و ۰/۱٪) استفاده شد. نتایج حاصل از ویژگی‌های فیزیکوشیمیابی، بافتی و حسی محصول منتخب طی بازه زمانی ۰، ۱۵، ۳۰، ۴۵ و ۶۰ روز ارزیابی و با نمونه شاهد مقایسه گردید. نتایج نشان داد که با افزایش درصد جایگزینی شکر با استویوزید-ایزومالت و جایگزینی ژلاتین با صمع فارسی، سختی بافت بهتری، افزایش و کاهش یافت. دانسیته و چسبندگی نیز با افزایش درصد جایگزینی شکر با استویوزید-ایزومالت بهتری، کاهش و افزایش چشمگیری داشتند. در بین فرمول‌های مورد بررسی، نمونه‌های حاوی ۱۳٪ جایگزینی شکر با استویوزید-ایزومالت، ۱۰۰٪ جایگزینی ژلاتین با صمع فارسی و ۰/۲۸٪ اسپیرولینا؛ و ۶۰٪ جایگزینی شکر با استویوزید-ایزومالت، ۱۰۰٪ جایگزینی ژلاتین با صمع فارسی و ۰/۰۲٪ اسپیرولینا به عنوان فرمول‌های بهینه تعیین شدند. مقایسه میان نمونه‌های بهینه و نمونه شاهد بیانگر کاهش رطوبت و افزایش دانسیته نمونه‌های پاستیل رژیمی غنی‌شده، بود ( $p < 0/05$ ). نتایج ارزیابی حسی نشان داد نمونه طول دوره نگهداری تغییر محسوسی نداشت ( $p > 0/05$ ). نتایج ارزیابی حسی نشان داد نمونه شاهد ویژگی‌های حسی (طعم و مزه، طعم پس تلخ، بافت و پذیرش کلی) بهتری نسبت به نمونه‌های پاستیل رژیمی تولیدی داشت. افزودن ریزجلک اسپیرولینا پلاتنسیس به عنوان یک مکمل غذایی فراسودمند می‌تواند سبب ایجاد خصوصیات تغذیه‌ای ارزشمند بخصوص از نظر پروتئین و مواد معدنی مانند آهن در محصول گردد.

کلمات کلیدی:

پاستیل،

اسپیرولینا پلاتنسیس،

استویوزید،

خصوصیات بافتی،

ویژگی‌های حسی.

DOI: 10.52547/fsct.19.124.327

DOR: 20.1001.1.20088787.1401.19.124.8.5

\* مسئول مکاتبات:

Mgolifood@yahoo.com

یک شیرین کننده طبیعی بدون کالری است که استفاده از آن به عنوان یک شیرین کننده رژیمی و جایگزین مناسب برای ساکارز، نقش مهمی در کاهش میزان کالری رژیم غذایی روزانه افرادی که می‌خواهند سبک زندگی سالمی داشته باشند، ایفا می‌کند [۴]. از آنجایی که اغلب شیرین کننده‌ها به تنها یافردار می‌باشند، می‌توان به تأمین تمامی خواص عملکردی ساکارز نمی‌باشد، می‌توان از ترکیباتی مانند قندی‌الکل به عنوان عامل پر کننده و بافت دهنده در فرمولاسیون محصولات رژیمی استفاده نمود. ایزومالت یکی از قند الکل‌های حاصل از تجزیه‌ی ساکارز است که در سیستم گوارشی تنها ۵۰٪ آن متابولیزه شده و انرژی معادل ۲ کیلوکالری بر گرم فراهم می‌کند [۵]. در مطالعه صورت گرفته توسط پیلهوران و همکاران (۱۳۹۳)، جهت کاهش کالری کیک یزدی از شیرین کننده‌هایی مانند سوربیتول، ایزومالت و استویویزید به جای ساکارز در فرمولاسیون استفاده شد. نتایج پژوهش آنها نشان داد که با افزایش نسبت جایگزینی شکر با استویویزید و قندالکلی ایزومالت بافت محصول تولیدی استحکام بیشتری نسبت به نمونه شاهد دارد [۶]. در یک تحقیق دیگر، آیدو و همکاران (۲۰۱۴)، به بررسی ویژگی‌های شکلات‌بدون شکر، با استفاده از استویا، عصاره توماتین، اینولین و پلی دکستروز پرداختند که نتایج نشان داد شکلات‌های بدون شکر، خصوصیات جریان‌پذیری (رئولوژی) و ویژگی‌های ذوبی مشابه با نمونه شاهد داشته است [۷]. در تحقیقی دیگر، گائو و همکاران (۲۰۱۷)، به بررسی جایگزینی استویا با شکر در فرمولاسیون مافین پرداختند و بیان داشتند که افزایش استویا در فرمول مافین، میزان سختی نمونه‌ها را افزایش ولی میزان پذیرش کلی آنها را کاهش می‌دهد [۸]. از سوی دیگر، امروزه رویکرد مبنی بر غنی‌سازی مواد غذایی یکی از مناسب‌ترین و کاربردی‌ترین روش‌ها جهت جلوگیری از بروز سوء تغذیه تلقی می‌گردد. جلبک‌ها و ریزجلبک‌ها به صورت بالقوه منبع غنی از ترکیباتی هستند که قابلیت استفاده در تولید غذاهای عملکر و فراسودمند را دارند. اسپیرولینا

## ۱- مقدمه

افزایش آگاهی مصرف کنندگان در رابطه با نقش تغذیه بر سلامتی انسان و تغییر شیوه زندگی انسان‌ها در نتیجه گسترش بیماری‌های قلبی و عروقی موجب شده تا امروزه تولید کنندگان به تولید فرآورده‌هایی با محتوی چربی، شکر و نمک کم و فیبر بیشتر روی آورند که مصرف چنین فرآورده‌هایی خطر ابتلا به برخی از بیماری‌ها و ناهنجاری‌ها را کاهش خواهد داد. در سال‌های اخیر، استفاده از فرآورده‌های غذایی کم کالری در جوامع مختلف رشد روز افزونی داشته است. پاستیل‌ها، از جمله فرآورده‌های ژله‌ای قنادی محسوب می‌شوند که به دلیل کاهش فعالیت آب، زمان ماندگاری بالایی دارند. ترکیبات موجود در پاستیل (طعم دهنده‌ها، ترکیبات دارویی، اسانس‌ها و مواد مؤثره) به تدریج با جویدن در دهان آزاد شده و تأثیر خود را اعمال می‌کنند. از جمله ترکیبات اصلی تشکیل دهنده پاستیل‌ها، می‌توان به هیدروکلولوئیدها نظری ژلاتین، گوار، آگار، پکتین و سایر صمغ‌ها مانند صمغ فارسی و عربی، شکر، طعم‌دهنده‌ها و رنگ‌های مجاز خوراکی اشاره نمود [۱]. با توجه به محبوبیت بالا و گستردگی مصرف این فرآورده به‌ویژه در میان کودکان و جوانان، تولید پاستیل رژیمی کم کالری، می‌تواند نقش بهسزایی در کاهش مشکلات مطرح شده داشته باشد [۲]. شکر در فرآوری محصولات غذایی به عنوان یک شیرین‌کننده طبیعی ویژگی‌های عملکردی منحصر به‌فردی دارد، اما مصرف بالا و مداوم آن ارتباط نزدیکی با بروز و گسترش برخی از بیماری‌ها نظیر دیابت، چاقی، فساد دندان، بیماری‌های قلبی و فشار خون دارد. لذا، استفاده از شیرین‌کننده‌های رژیمی برای جایگزین کردن ساکارز مورد توجه تولید کنندگان و محققان صنعت غذا قرار گرفته است [۳]. گیاه استویا<sup>۱</sup>، و قند حاصل از آن با نام استویویزید<sup>۲</sup>، با درجه شیرینی ۲۵۰-۳۰۰ برابر بیشتر از ساکارز، کالری کمتر و اندیس گلایسمی پایین،

1. *Stevia rebaudiana*  
2. Stevioside

پذیرش کلی فرآورده‌های غذایی از طریق افزایش پایداری فیزیکی غذا و احساس دهانی مطلوب نقش ویژه‌ای دارند [۱۳]. در میان عوامل ژل کننده بر پایه پروتئین، ژلاتین با توجه به خواص عملکردی همچون بافت دهنده‌گی، تشکیل ژل، کف کننده‌گی، ثبیت کننده‌گی و امولسیون کننده‌گی بیشتر در فرآوری پاستیل یا ژله‌ها استفاده می‌شود. ژلاتین یک ترکیب غذایی پروتئین خالص با وزن مولکولی بالا است که از دناتوراسیون حرارتی کلازن به دست می‌آید. ژلاتین، ژله‌ای برگشت پذیر حرارتی را تشکیل می‌دهد و نقطه ذوب ژل آن معمولاً پایین‌تر از ۳۵ درجه سانتی‌گراد است. این ویژگی در فرآورده‌های بر پایه ژلاتین، خواص ارگانولپتیکی منحصر به‌فرد و آزادسازی طعم مطلوبی را می‌بخشد [۱۴]. تحقیقات پیشین نشان داده است که با به‌کارگیری بیش از یک هیدروکلولئید در فرمولاسیون فرآورده‌های غذایی می‌توان به ایجاد ساختار فیزیکی مطلوب، بهبود کیفیت خوارکی و همچنین بهبود رفتار طی فرآوری محصول دست یافت. تاکنون از ژله‌ای ترکیبی ژلاتین همراه با پلی‌ساقاریدهای مختلف برای تولید محصولات غذایی متنوع استفاده شده است.

صمغ فارسی از تراوشات طبیعی درخت بادام کوهی از خانوارde گلسرخیان<sup>۵</sup>، با نام علمی آمیگدالوس اسکوپاریا اسپاچ<sup>۶</sup> است که در اثر تنش‌های دمایی، رطوبتی، گزش حشرات، بیماری گامیوسیس<sup>۷</sup> و غیره ترشح می‌شود. این صمغ به علت دارا بودن ترکیبات شیمیایی متعدد رنگ‌های مختلفی (سفید، زرد، قرمز، قهوه‌ای) دارد. صمغ فارسی همانند سایر صمغ‌ها در آب، محلول‌هایی چسبنده و ویسکوز تولید می‌کند و به‌طور گستردۀ ای در صنایع دارویی و غذایی کاربرد دارد [۱۵]. در سال‌های اخیر، پژوهش‌هایی در رابطه با تولید و فرمولاسیون پاستیل‌های میوه‌ای توسط نوریزا و همکاران در سال ۲۰۱۵ [۱۶]، فیوضی و همکاران در سال ۲۰۱۴ [۱۷]، مارفی و همکاران در سال ۲۰۱۲ [۱۸] و شهیدی و همکاران در سال ۲۰۱۱ [۱۹] انجام

پلاتنسیس<sup>۱</sup> از جمله ریزجلیک‌های چند سلوکی و رشته‌ای سبز- آبی است. مصرف اسپیروولینا به عنوان غذا سابقه‌ای طولانی دارد و از سوی سازمان بهداشت جهانی<sup>۲</sup> به عنوان برترین غذای روی زمین و بهترین راه حل برای آینده اعلام گردیده است. آزمایشات سه شناسی متعدد اینمی این ریزجلیک را اثبات کرده و بعد از تأیید سازمان غذا و دارو<sup>۳</sup> نیز به عنوان افزودنی مجاز<sup>۴</sup> معرفی شده است [۹]. اسپیروولینا منبع غنی از پروتئین‌ها، اسیدهای چرب چند غیر اشباعی و ضروری، گلیکولپیدها، پلی‌ساقاریدها، فیرهای رژیمی، انواع ویتامین‌های گروه ب و مواد معدنی مانند کلسیم، آهن، منیزیم، پتاسیم، روی و سلیوم است که استفاده از آن در فرآوری محصولات غذایی می‌تواند موجب ارتقای سطح سلامت و پیشگیری از بروز سوء تغذیه در کودکان شود [۱۰]. در پژوهشی که توسط رسولی و همکاران (۱۳۹۴)، در ارتباط با بهینه‌سازی فرمولاسیون بستنی سنتی ایرانی با اسپیروولینا به روش سطح پاسخ انجام گرفت، مشاهده شد که حضور این ریز جلبک در فرمولاسیون بستنی به‌طور معنی‌داری موجب افزایش ویسکوزیته و مقاومت به ذوب و کاهش اورزان بستنی سنتی می‌شود [۱۱]. بارکلا و همکاران (۲۰۱۷)، با غنی سازی ماست توسط ریز جلبک اسپیروولینا، ظرفیت نگهداری آب بهتر و آب اندازی کمتر نمونه‌های حاوی این ریز جلبک را در طی ۲۸ روز نگهداری در سرما گزارش نمودند [۱۲].

هیدروکلولئیدها گروه بزرگی از پلی‌ساقاریدها و پروتئین‌ها هستند که به‌دلیل داشتن ویژگی‌های عملکردی منحصر به‌فرد نه تنها در صنعت غذا، بلکه در صنایع مختلف مورد استفاده قرار می‌گیرند. هیدروکلولئیدها در فرمولاسیون محصولات برای ایجاد و بهبود بافت، افزایش پایداری آنها به‌دلیل قابلیت نگهداری آب، تأثیر بر رهاسازی طعم و سایر ویژگی‌های ساختاری و حسی فرآورده استفاده می‌شوند. این ترکیبات در

5. Rosaceae  
6. Amygdalus Scoparia Spach  
7. gummiosis

1. *Spirulina platensis*  
2. World Health Organization (WHO)  
3. Food and drug administration (FDA)  
4. Generally Recognized As Safe (GRAS)

فرمولاسیون پایه پاستیل (نمونه شاهد) شامل آب (۵۴٪)، شکر (۴٪، ۲۷٪)، سوربیتول (۸٪، ۲٪)، ژلاتین (۸٪) و طعم دهنده (۱٪) بود و از ایزومالت به عنوان پر کننده استفاده گردید. برای تهیه پاستیل ابتدا مخلوط آب، سوربیتول و شکر تا رسیدن به دمای جوش و انحلال کامل حرارت داده شد. سپس پودر ژلاتین به شربت قندی حاصل اضافه و مخلوط گردید. عملیات همزدن تا زمانی که کدورت محلول برطرف شده و محلول شفاف ایجاد شود و حرارت دهی مخلوط در دمای ۶۰-۶۵ درجه سانتی گراد تا رسیدن به بریکس ثابت ۴، ادامه داشت. سپس مخلوط آماده شده درون قالب‌هایی از جنس استیل با ابعاد  $2 \times 2 \times 1/2$  سانتی‌متر ریخته شد و قالب‌ها به مدت ۲ ساعت در یخچال با دمای ۴ درجه سانتی گراد جهت بستن ژل قرار گرفتند. پس از آن ژل حاصل از درون قالب‌ها خارج گردید و نمونه‌ها به مدت ۶ ساعت در دمای ۷۰ درجه سانتی- گراد درون خشک کن هوای داغ با سرعت جريان هوا ۱/۵ متر بر ثانیه خشک شدند. فرایند خشک کردن به منظور کاهش رطوبت فرآورده نهایی تا رطوبت ۳۰-۴۵ درصد و همچنین افزایش مدت زمان ماندگاری پاستیل انجام گرفت. پس از مرحله خشک شدن، نمونه‌ها در داخل کیسه‌های پلاستیکی پلی اتیلنی زیپ‌دار جهت حفظ رطوبت، بسته‌بندی و تا زمان انجام آزمایش در دمای محیط نگهداری شدند [۱]. جهت تهیه پاستیل رژیمی غنی شده، متغیرهای مستقل شامل جایگزینی شکر با استویوزید- ایزومالت در سطوح (۰-۱۰۰ درصد)، جایگزینی ژلاتین با صمغ فارسی در سطوح (۰-۱۰۰ درصد) و درصد اسپیرولینا در سطوح (۰-۱) درصد وزن کل فرمول نهایی) انتخاب شدند (جدول ۱)، و بقیه ترکیبات ثابت در نظر گرفته شدند. برای بدست آوردن نقطه‌ی بهینه، ۳۳ آزمایش توسط نرم افزار دیزاین اکسپرت<sup>۱</sup> پیشنهاد گردید (جدول ۲)، که در این جدول فاکتورها و سطوح اندازه‌گیری آنها نیز آورده شده است.

گرفته است. در این پژوهش‌ها از محصولاتی همچون میوه پیتاپا قرمز به همراه هیدروکلولئیدهای مختلف از جمله نشاسته ذرت، پکین، ژلاتین و شیرین کننده‌های مختلف استفاده و ویژگی‌های بافتی محصولات تولیدی مشابه به پاستیل‌های رایج در بازار گزارش شده است. همچنین، پاستیل‌های فراسودمند تولیدی از لحاظ ارزش تغذیه‌ای و پذیرش با نوع رایج در بازار قابل رقابت بودند.

با توجه به اینکه تاکنون در ایران تحقیق جامعی پیرامون کاربرد ریزجلبک اسپیرولینا، قند رژیمی استویوزید و قند الکلی ایزومالت در فرمولاسیون پاستیل و ژله‌ها انجام نگرفته است، هدف از پژوهش حاضر بررسی امکان غنی‌سازی پاستیل با اسپیرولینا پلاتنسیس و جایگزین کردن ساکارز آن با استفاده از مخلوط قندهای استویوزید- ایزومالت و همچنین جایگزینی ژلاتین با صمغ فارسی و تأثیر آنها بر خواص فیزیکوشیمیایی و بافتی پاستیل با هدف ارتقاء ارزش تغذیه‌ای و حفظ ویژگی‌های نمونه‌های پاستیل کیفی این محصول می‌باشد. در نهایت، رژیمی غنی شده تولیدی و نمونه شاهد، از نقطه نظر ویژگی- های فیزیکوشیمیایی، بافتی و حسی مقایسه گردیده‌اند.

## ۲- مواد و روش‌ها

### ۲-۱- مواد مورد استفاده

مواد اولیه مورد استفاده در این تحقیق شامل شکر (شرکت قند اصفهان)، سوربیتول (شرکت روکوت<sup>۱</sup> فرانسه)، ایزومالت و استویوزید (شرکت بنکو<sup>۲</sup> آلمان)، صمغ فارسی (شرکت زرین گیاهینه اصفهان)، ژلاتین (شرکت فرمند ایران) و پودر ریزجلبک اسپیرولینا پلاتنسیس (شرکت سینا ریزجلبک قشم) تهیه گردیدند. کلیه مواد آزمایشگاهی مورد استفاده در این پژوهش، با خلوص بالا از شرکت مرک<sup>۳</sup> آلمان خریداری شدند.

### ۲-۲- آماده‌سازی نمونه‌ها

1. Roquette
2. Beneco
3. Merck

**Table 1** Independent variables and their coded and actual values used for optimization

| Independent variable                               | Symbol | Coded level |      |      |      |            |
|--|--------|-------------|------|------|------|------------|
|  |        | - $\alpha$  | -1   | 0    | +1   | + $\alpha$ |
| Replacement of sucrose with stevioside-isomalt (%) | A      | 0           | 25   | 50   | 75   | 100        |
| Replacement of gelatin with persian gum (%)        | B      | 0           | 25   | 50   | 75   | 100        |
| Spirulina (%)                                      | C      | 0           | 0.25 | 0.50 | 0.75 | 1.00       |

\* Considering the stevioside 300 times sweeter than sucrose, to supply the difference between the weight of stevioside consumed and sucrose removed, isomalt was used as a filler in all treatments.

**Table 2** RSM experimental design

| Run | Replacement of sucrose with stevioside-isomalt (%) | Replacement of gelatin with persian gum (%) | Spirulina (%) | Run | Replacement of sucrose with stevioside-isomalt (%) | Replacement of gelatin with persian gum (%) | Spirulina (%) |
|-----|--|---|---------------|-----|--|---|---------------|
| 2   | 0  | 50  | 0.5           | 16  | 50   | 50  | 0.5           |
| 26  | 0  | 50  | 0.5           | 18  | 50   | 0   | 0.5           |
| 3   | 25   | 25  | 0.25          | 22  | 50   | 50  | 0.5           |
| 14  | 25   | 75  | 0.25          | 31  | 50   | 0   | 0.5           |
| 17  | 25   | 75  | 0.25          | 30  | 50   | 50  | 1             |
| 29  | 25   | 25  | 0.25          | 33  | 50   | 50  | 1             |
| 1   | 25   | 25  | 0.75          | 6   | 75   | 25  | 0.25          |
| 20  | 25   | 25  | 0.75          | 9   | 75   | 75  | 0.25          |
| 21  | 25   | 75  | 0.75          | 25  | 75   | 75  | 0.25          |
| 27  | 25   | 75  | 0.75          | 32  | 75   | 25  | 0.25          |
| 5   | 50   | 50  | 0             | 12  | 75   | 25  | 0.75          |
| 11  | 50   | 50  | 0             | 13  | 75   | 75  | 0.75          |
| 4   | 50   | 50  | 0.5           | 19  | 75   | 75  | 0.75          |
| 7   | 50   | 100   | 0.5           | 23  | 75   | 25  | 0.75          |
| 8   | 50   | 50  | 0.5           | 24  | 100  | 50  | 0.5           |
| 10  | 50   | 100   | 0.5           | 28  | 100  | 50  | 0.5           |
| 15  | 50   | 50  | 0.5           | -   | -  | -   | -             |

\* Considering the stevioside 300 times sweeter than sucrose, to supply the difference between the weight of stevioside consumed and sucrose removed, isomalt was used as a filler in all treatments.

میلی متر به درون نمونه پاستیل با ضخامت ۲۰ میلی متر محاسبه گردید. نیروی لازم جهت نفوذ پروب به درون نمونه به عنوان شاخص سختی بافت بر حسب نیوتن گزارش شد. پیوستگی و ارجاعیت نیز از روی نمودار فاصله- نیرو به دست آمد. صمغیت از حاصل ضرب سختی و پیوستگی، و قابلیت جویدن نیز از حاصل ضرب سختی و پیوستگی و ارجاعیت محاسبه گردید [۲۶].

### ۲-۳-۲- تصویرگیری و پردازش رنگ

برای بررسی رنگ نمونه‌های تولیدی، از هر نمونه پاستیل، ۳ قطعه به صورت تصادفی انتخاب و تصاویر با استفاده از اسکنر مسطح (HP Scanjet 4010) با رزولوشن ۲۰۰ dpi و نرم افزار در فضای RGB تهیه شدند. سپس برای به دست آوردن

### ۲-۳-۲- ارزیابی فراورده

#### ۲-۳-۲-۱- آزمون‌های فیزیکوشیمیایی

اندازه‌گیری محتوی رطوبت، پروتئین، چربی، خاکستر و آهن به ترتیب مطابق با روش استاندارد بین المللی AACC (۲۰۰۰) [۲۰-۲۴]. دانسیته نمونه‌های پاستیل پس از تعیین انجام گرفت [۲۰-۲۴]. دانسیته نمونه‌های پاستیل پس از تعیین حجم با استفاده از روش جایه جایی دانه کلزا محاسبه گردید [۲۵]. برای ارزیابی میزان سختی بافت پاستیل از بافت سنج CNS Farnell, Hertfordshire, UK QTS مدل مدل CNS Farnell, Hertfordshire, UK QTS کشور انگلستان استفاده شد. بدین ترتیب، نیروی لازم توسط یک پروب استوانه‌ای (۵/۳ سانتی متر قطر در ۸/۱ سانتی متر ارتفاع) با سرعت نفوذ ۶۰ میلی متر در دقیقه و عمق نفوذ ۲۰

ثابت،  $\beta_0$ ، اثرات خطی  $\beta_b$ ،  $\beta_a$ ،  $\beta_c$ ، اثرات مربعی  $\beta_{bb}$ ،  $\beta_{aa}$  و اثرات متقابل  $\beta_{bc}$ ،  $\beta_{ac}$ ،  $\beta_{cc}$  می‌باشند.

$$\begin{aligned} Y = & \beta_0 + \beta_a A + \beta_b B + \beta_c C + \beta_{aa} A^2 + \beta_{bb} B^2 + \beta_{cc} C^2 + \beta_{ab} A \\ & B + \beta_{ac} AC + \beta_{bc} BC \end{aligned} \quad (1)$$

پس از تجزیه و تحلیل داده‌ها توسط نرم افزار، مدلی پیشنهاد شد که دارای انحراف استاندارد (S.D.) و مجموع مربعات باقی مانده برآورده شده (PRESS) کم و ضریب همبستگی ( $R^2$ ) بالا باشد. آنالیز نتایج بدست آمده در قالب طرح کاملاً تصادفی و با استفاده از نرم افزار SPSS ver: 9.1 صورت گرفت. بهمنظور مقایسه میانگین‌ها و بررسی معنی‌دار بودن اختلاف بین آنها، از آزمون دانکن در سطح اطمینان ۹۵ درصد استفاده گردید.

### ۳-نتایج و بحث

برای بدست آوردن مدل تجربی برای پیش‌بینی متغیرهای پاسخ (دانسیته، سختی بافت، چسبندگی، پیوستگی، ارتاجاعیت، قابلیت جویدن) ابتدا رابطه‌های چند جمله‌ای شامل خطی، دو فاکتوریلی (تعاملی)، درجه دو و درجه سه بر داده‌های بدست آمده از این پاسخ برآراش داده شدند و سپس این مدل‌ها مورد آنالیز آماری قرار گرفتند. از نظر آماری مدلی مناسب است که آزمون عدم برآراش آن معنی‌دار نبوده و دارای بالاترین ضریب تبیین و ضریب تبیین اصلاح شده باشد. نتایج نشان داد مدل مناسب برای پیشگویی تغییرات دانسیته و چسبندگی در اثر متغیرهای مورد بررسی (جایگزینی شکر با استویوزید- ایزومالت، جایگزینی ژلاتین با صمغ فارسی، درصد اسپیروولینا)، مدل خطی درجه دو، برای تغییرات سختی بافت، ارتاجاعیت و قابلیت جویدن مدل خطی درجه سوم و برای تغییرات پیوستگی مدل خطی درجه اول با ضریب تعیین  $R^2 > 0.80$  می‌باشد. نتایج مربوط به تجزیه واریانس برای متغیرهای پاسخ در جدول ۳ آورده شده است.

سطوح یکسان از هر نمونه با استفاده از نرم افزار فتوشاپ (Adobe, V.7.0) تصاویر در اندازه  $150 \times 130$  پیکسل جدا و با فرمت BMP در فضای رنگی RGB ذخیره شدند. پارامترهای رنگی ( $L^*$ ,  $a^*$ ,  $b^*$ ) با استفاده از نرم افزار Color Space Image J Tوسط Plugin به عنوان Convertor به دست آمدند [۲۷].

### ۳-۳-۲-ارزیابی حسی

ارزیابی ویژگی‌های حسی نمونه‌ها در دمای ۲۵ درجه سانتی‌گراد و با آزمون هدونیک ۵ نقطه‌ای توسط ۱۵ ارزیاب آموزش داده شده، مورد ارزیابی قرار گرفت. از ارزیاب‌ها خواسته شد تا صفات مورد بررسی شامل طعم و مزه، شیرینی، طعم پس تلخ، رنگ، بافت و پذیرش کلی را از عدد ۱ تا ۵ رتبه‌بندی نمایند. برای بهترین کیفیت عدد ۵ و برای نازل‌ترین کیفیت عدد ۱ در نظر گرفته شد [۲۸].

### ۴-تجزیه و تحلیل آماری داده‌ها

در این تحقیق، بهمنظور بررسی تأثیر متغیرهای مستقل شامل درصد جایگزینی شکر با استویوزید- ایزومالت (A)، درصد جایگزینی ژلاتین با صمغ فارسی (B) و درصد اسپیروولینا (C) بر پاسخ‌ها (دانسیته، سختی بافت، چسبندگی، پیوستگی، ارتاجاعیت، قابلیت جویدن) از نرم افزار دیزاین اکسپرت ورژن ۹ و روش سطح پاسخ در قالب طرح مرکب مرکزی با میزان  $\alpha$  برابر ۲ و ۶ نقطه مرکزی استفاده شد. کلیه بررسی‌های آماری و معنی‌داری و یا غیر معنی‌داری داده‌ها در سطح اطمینان ۹۵ درصد انجام گردید. جست و جوی شرایط عملیاتی بهینه جهت دستیابی به پاسخ‌های مطلوب مورد نظر با استفاده از تکنیک بهینه‌سازی عددی انجام شد. در روش RSM برای هر متغیر وابسته مدلی تعریف شد که آثار اصلی و متقابل متغیرها را بر روی هر فاکتور بیان می‌کند، مدل چند متغیره به صورت زیر می‌باشد. در معادله (1)، پاسخ پیش‌بینی شده  $Y$ ، ضریب

**Table 3** The assessed coefficients contents of the selected model for the studied attributes and the results of the analysis of variance

| Source               | Response                     |                     |              |                    |              |                                     |                      |                          |             |                           |               |                    |
|----------------------|------------------------------|---------------------|--------------|--------------------|--------------|-------------------------------------|----------------------|--------------------------|-------------|---------------------------|---------------|--------------------|
|                      | Density (g/cm <sup>3</sup> ) |                     | Hardness (N) |                    | Cohesiveness |                                     | Adhesiveness (N.min) |                          | Springiness |                           | Chewiness (N) |                    |
|                      | df                           | Sum squares         | df           | Sum squares        | df           | Sum squares                         | df                   | Sum squares              | df          | Sum squares               | df            | Sum squares        |
| <b>model</b>         | 5                            | 0.3***              | 10           | 424.89**           | 4            | 0.039***                            | 4                    | 0.026***                 | 2           | 0.029***                  | 9             | 217.92***          |
| A                    | 1                            | 0.048***            | 1            | 96.6***            | 1            | 0.022***                            | 1                    | 0.019***                 | -           | -                         | 1             | 26.19**            |
| B                    | -                            | -                   | 1            | 4.61 <sup>ns</sup> | -            | -                                   | 1                    | 1.29×10 <sup>-3</sup> ns | -           | -                         | 1             | 28.09**            |
| C                    | -                            | -                   | -            | -                  | 1            | 1.71×10 <sup>-3</sup> *             | -                    | -                        | -           | -                         | -             | -                  |
| AB                   | 1                            | 0.16***             | 1            | 20.66***           | 1            | 0.015***                            | -                    | -                        | -           | -                         | -             | -                  |
| AC                   | 1                            | 0.068***            | 1            | 74.1***            | 1            | 0.01***                             | -                    | -                        | -           | -                         | 1             | 31.66**            |
| BC                   | 1                            | 0.07***             | 1            | 52.39***           | -            | -                                   | -                    | -                        | -           | -                         | 1             | 20.27*             |
| ABC                  | -                            | -                   | 1            | 105.3***           | -            | -                                   | -                    | -                        | -           | -                         | 1             | 52.83***           |
| A <sup>2</sup>       | -                            | -                   | 1            | 78.79***           | -            | -                                   | -                    | -                        | -           | -                         | 1             | 13.4*              |
| B <sup>2</sup>       | 1                            | 0.07***             | 1            | 8.71*              | -            | -                                   | 1                    | 3.70×10 <sup>-3</sup> ** | -           | -                         | 1             | 40.22***           |
| C <sup>2</sup>       | -                            | -                   | -            | -                  | -            | -                                   | 1                    | 4.85×10 <sup>-3</sup> ** | -           | -                         | -             | -                  |
| A <sup>2</sup> B     | -                            | -                   | 1            | 30.72***           | -            | -                                   | -                    | -                        | -           | -                         | 1             | 83.36***           |
| A <sup>2</sup> C     | -                            | -                   | 1            | 39.01***           | -            | -                                   | -                    | -                        | 1           | 5.79×10 <sup>-3</sup> *** | 1             | 13.62***           |
| A <sup>3</sup>       | -                            | -                   | -            | -                  | -            | -                                   | -                    | -                        | 1           | 0.024***                  | -             | -                  |
| B <sup>3</sup>       | -                            | -                   | -            | -                  | -            | -                                   | -                    | -                        | -           | -                         | -             | -                  |
| C <sup>3</sup>       | -                            | -                   | -            | -                  | -            | -                                   | -                    | -                        | -           | -                         | -             | -                  |
| <b>Residual</b>      | 22                           | 0.08                | 17           | 23.61              | 24           | 9.30×10 <sup>-3</sup>               | 24                   | 8.47×10 <sup>-3</sup>    | 23          | 6.86×10 <sup>-3</sup>     | 22            | 56.28              |
| <b>Lack of fit</b>   | 8                            | 0.037 <sup>ns</sup> | 3            | 2.69 <sup>ns</sup> | 9            | 1.05×10 <sup>-3</sup> <sub>ns</sub> | 8                    | 1.78×10 <sup>-3</sup> ns | 11          | 3.04×10 <sup>-3</sup> ns  | 5             | 8.87 <sup>ns</sup> |
| <b>R<sup>2</sup></b> |                              | 0.79                |              | 0.94               |              | 0.80                                |                      | 0.75                     |             | 0.80                      |               | 0.80               |
| <b>Pure error</b>    | 14                           | 0.044               | 14           | 20.92              | 15           | 8.25×10 <sup>-3</sup>               | 16                   | 6.70×10 <sup>-3</sup>    | 12          | 3.82×10 <sup>-3</sup>     | 17            | 47.42              |
| <b>Cor total</b>     | 27                           | 0.38                | 27           | 448.51             | 28           | 0.049                               | 28                   | 0.034                    | 25          | 0.036                     | 31            | 274.21             |

A: Replacement of sucrose with stevioside-isomalt (%), B: Replacement of gelatin with persian gum (%), C: *Spirulina* (%)

-: Non significant effect of variable on response, \*Significant at 5%; \*\* Significant at 1%, \*\*\* Significant at 0.1%, ns= Not significant.

فاکتور دانسیته معنی دار بود ( $p < 0.001$  و  $p > 0.001$ ). طبق معادله (۱)، افزایش درصد جایگزینی شکر با استویوزید-ایزومالت نیز باعث کاهش دانسیته شد که علت را می توان به افزایش ویسکوزیته مخلوط، افزایش قابلیت نگهداری گازها در مخلوط و افزایش سرعت انتقال حرارت ناشی از افزایش دمای دناتوره شدن پروتئین ها که موجب انبساط کافی حباب های هوا و افزایش پایداری مخلوط در طی فرایند پخت می شود، نسبت داد [۳۰]. در حقیقت، ترکیبات موجود در استویا (قند و پروتئین) برای جذب آب با سایر اجزاء موجود در فرمولاسیون رقابت کرده که این امر منجر به خروج مقدار زیادی آب از مخلوط و افزایش حجم و در نهایت کاهش دانسیته محصول نهایی خواهد شد. در تحقیقی که توسط آیدو و همکاران (۲۰۱۴) بر روی فرمولاسیون شکلات بدون قند با استفاده از جایگزین کننده های ساکارز انجام شد، نتایج بیانگر آن بود که

### ۱-۳-تغییرات دانسیته

دانسیته بیانگر میزان هوای بهدام افتاده در مخلوط است. فاکتورهای متعددی از جمله نوع و میزان ترکیبات موجود در فرمولاسیون (حضور ترکیبات فعال سطحی و پروتئین ها)، ویسکوزیته، ترکیبات مولد گاز و شرایط فرایند تولید همچون فرایند همزدن، آمیختن هوا در مخلوط و تبخیر مولکول های آب در طول فرایند پخت تأثیر بهسزایی بر قابلیت نگهداری گازها توسط مخلوط در حین پخت دارد [۲۹]. همانطور که در معادله (۱) نشان داده شد، اثر خطی جایگزینی شکر با استویوزید-ایزومالت، اثر متقابل جایگزینی شکر با استویوزید-ایزومالت و جایگزینی ژلاتین با صمغ فارسی، اثر متقابل جایگزینی شکر با استویوزید-ایزومالت و درصد اسپیروولینا، اثر متقابل جایگزینی ژلاتین با صمغ فارسی و درصد اسپیروولینا و اثر درجه دوم جایگزینی ژلاتین با صمغ فارسی بر

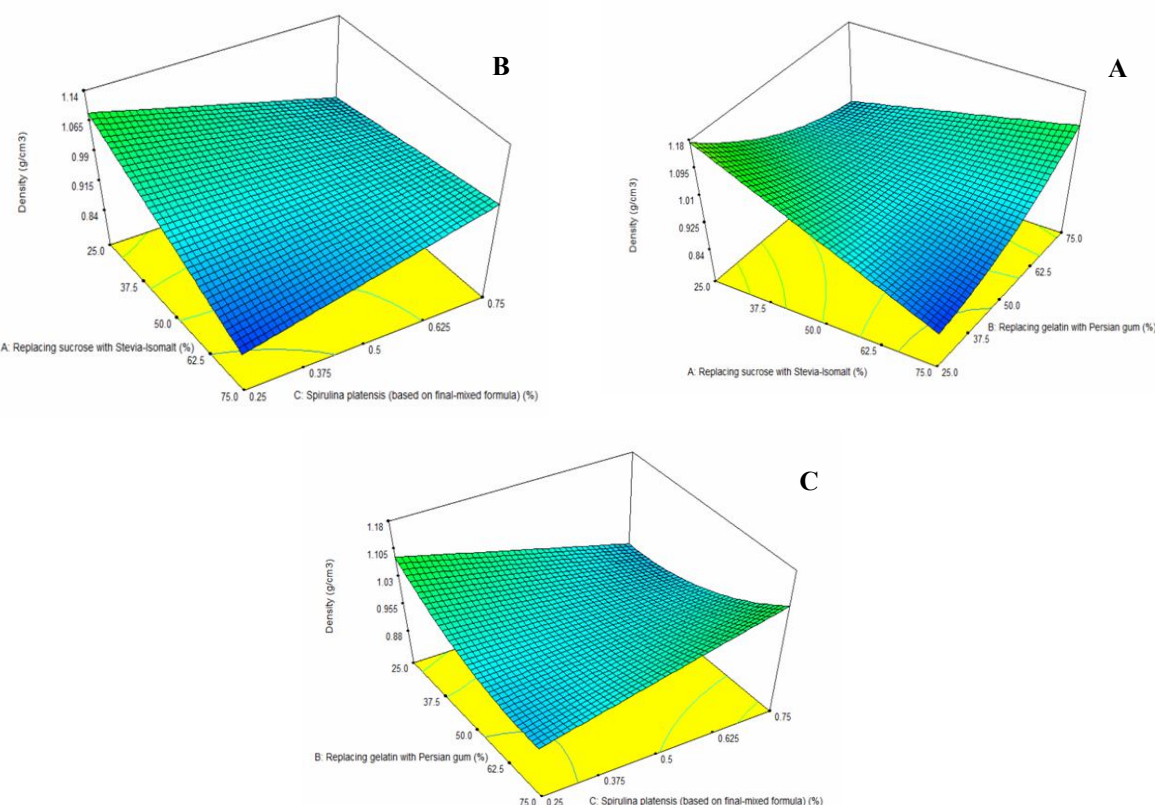
با افزایش درصد جایگزینی ژلاتین با صمغ فارسی ابتدا کاهشی و سپس افزایشی با شبیب بسیار ملایم بود. کمترین میزان دانسیته در مقادیر کمتر جایگزینی ژلاتین با صمغ فارسی (٪۲۵)، و مقادیر بالاتر جایگزینی شکر با استویوزید- ایزومالت (٪۷۵)، به دست آمد. در شکل (B-1) نیز مشاهده می شود که در سطح ۵۰ درصد جایگزینی ژلاتین با صمغ فارسی و در هر سطح از اسپیروولینا، دانسیته با کاهش درصد جایگزینی شکر با استویوزید- ایزومالت به طور خطی افزایش یافت. در سطح بالاتر و پایین تر جایگزینی شکر با استویوزید- ایزومالت، روند تغییرات دانسیته با افزایش درصد اسپیروولینا به ترتیب، افزایشی و کاهشی بوده است. کمترین میزان دانسیته در مقادیر کمتر اسپیروولینا (٪۲۵)، و مقادیر بالاتر جایگزینی شکر با استویوزید- ایزومالت (٪۷۵)، حاصل گردید. در شکل (C) ملاحظه می شود که در سطح ۵۰ درصد جایگزینی شکر با استویوزید- ایزومالت و در سطوح پایین تر اسپیروولینا، دانسیته با کاهش درصد جایگزینی ژلاتین با صمغ فارسی افزایش یافت. به علاوه، در سطوح بالاتر اسپیروولینا، دانسیته با کاهش درصد جایگزینی ژلاتین با صمغ فارسی ابتدا کاهش و سپس افزایش پیدا کرد.

نوع شیرین کننده تأثیر معنی داری بر ویسکوزیته داشته و ویسکوزیته نمونه های حاوی استویا و توماتین به طور معنی داری بالاتر از نمونه های حاوی ساکاراز بوده است [۷]. با توجه به تفاوت های ساختاری میان ژلاتین و صمغ فارسی و برهم کنش میان آنها که موجب تغییر ویسکوزیته شبکه ژلی می شود [۳۱]، افزایش دانسیته در مقادیر بالاتر جایگزینی ژلاتین با صمغ فارسی مشاهده شد که مثبت بودن ضرب رگرسیونی اثر درجه دوم جایگزینی ژلاتین با صمغ فارسی مؤید این مطلب می باشد.

معادله (۲) =دانسیته (گرم بر سانتی متر مکعب)

$$0.97 - 0.047A + 0.042AB + 0.075AC + 0.043B^2$$

در نمودار سطح پاسخ (شکل A-1)، در سطح ۵۰٪ اسپیروولینا و در هر سطح از جایگزینی ژلاتین با صمغ فارسی، دانسیته با کاهش درصد جایگزینی شکر با استویوزید- ایزومالت افزایش یافت. در سطوح بالاتر جایگزینی شکر با استویوزید- ایزومالت، دانسیته با افزایش درصد جایگزینی ژلاتین با صمغ فارسی افزایش پیدا کرد و در سطوح پایین تر جایگزینی شکر با استویوزید- ایزومالت، روند تغییرات دانسیته



**Fig 1** The 3D response surface plots for the interaction effects of Replacement of sucrose with stevioside-isomalt and gelatin with persian gum (A), Replacement of sucrose with stevioside-isomalt and *Spirulina* (B), and Replacement of gelatin with persian gum and *Spirulina* (C) on density.

بر همکنش‌ها میان اجزای فرمولاسیون نسبت داد [۱۹]. به نظر می‌رسد که اتصال ژلاتین به قند موجود در فرمول پاستیل و جذب آب توسط ژلاتین باعث می‌شود که بافت نهایی پاستیل که حاوی درصد ژلاتین بیشتری است، سختی بیشتری از خود نشان دهد [۳۱]. از این‌رو، سختی بافت و قابلیت جویدن با افزایش درصد جایگزینی ژلاتین با صمع فارسی کاهش یافت. با توجه به نتایج بدست آمده می‌توان گفت صمع فارسی قادر به تشکیل ژل واقعی نبوده و در غلاظت‌های پایین به یک بخش نامحلول کدر و خمیری شکل (ژل ضعیف) و همچنین یک بخش محلول و شفاف تقسیم می‌شود. در حالیکه در غلاظت‌های بالاتر، مقدار آب جذب شده توسط صمع بیشتر بوده و شبکه ایجاد شده نیز حجمی‌تر است، به طوریکه مابقی آب را نیز در خود حبس کرده و فاز محلول مشاهده نمی‌شود. در غلاظت‌های خیلی بالا نیز احتمالاً به دلیل کم شدن سهم آب در مخلوط و افزایش آب جذب شده توسط صمع، شبکه محکم و پایداری ایجاد می‌گردد که در این حالت فاز محلول قابل جداسازی نبوده و فقط یک توده ژلی ضعیف مشاهده می‌شود. به همین دلیل شاید نتوان از صمع فارسی به تنها ی در تهیه پاستیل استفاده کرد و نیاز به حضور صمع دیگری است که بتواند شبکه ژلی محکم و پایداری ایجاد نماید. شاید بتوان اینطور نتیجه گرفت که رفتار صمع فارسی و بخش محلول آن همانند پکتین و کاراگینان بوده و حضور آن در شبکه ژل ژلاتین از طریق شکستن برخی پیوندها و یا ایجاد پیوندهای ضعیف با آن موجب کاهش سفتی می‌گردد [۳۵]. در مطالعه‌ای که توسط فیوضی و همکاران (۱۳۹۲)، انجام گرفت، نتایج نشان داد در فرآورده ژله‌ای خرما حاوی نسبت‌های مشخص ژلاتین، زانتان و آب پنیر، با افزایش میزان ژلاتین در فرمولاسیون استحکام ژل نهایی و سختی بافت افزایش یافته است [۱۷]. در مطالعه مارفی و همکاران (۲۰۱۲)، در رابطه با خصوصیات بافتی و ساختاری پاستیل حاوی نشاسته ذرت و ژلاتین، تجزیه و تحلیل‌ها نشان داد که ژلاتین نقش مهمی در تمام پارامترهای بافت مورد مطالعه داشته است به طوریکه در غلاظت‌های برابر، اثر ژلاتین بر سختی پاستیل بیشتر از اثر نشاسته ذرت است [۱۸].

طبق معادله (۴)، با افزایش درصد جایگزینی شکر با استویوزید- ایزومالت و ژلاتین با صمع فارسی تغییرات چسبندگی روند افزایشی داشت. مقادیر بالاتر جایگزینی ژلاتین

### ۳-۲-تغییرات ویژگی‌های بافتی

صفات بافتی مواد غذایی در پذیرش آن از سوی مصرف کننده از جایگاه ویژه‌ای برخوردار می‌باشد. ویژگی‌های بافتی مواد غذایی را می‌توان به ویژگی‌های مکانیکی (سختی، الاستیسیته، پیوستگی، قابلیت جویدن و چسبندگی)، ویژگی‌های هندسی (شکل و اندازه) و سایر ویژگی‌ها (میزان رطوبت و چربی) طبقه‌بندی کرد [۳۳]. سختی بافت در آزمون بافت سنجی به حداقل نیروی اعمال شده طی عمل گاز زدن را نشان می‌دهد. این شاخص به شدت تحت تأثیر قابلیت باند کردن آب در قندهای الکلی و از دست دادن آن در طی نگهداری و بر همکنش این قندها با سایر ترکیبات موجود در فرمول قرار می‌گیرد. عوامل دیگر مانند رطوبت، ماده خشک، میزان و نوع پروتئین و چربی نیز تا حدودی بر سختی بافت مؤثر هستند [۳۴]. با توجه به نتایج حاصل از جدول ۳، اثر خطی و درجه دوم درصد جایگزینی شکر با استویوزید- ایزومالت، اثر درجه دوم جایگزینی ژلاتین با صمع فارسی، اثر متقابل متغیرها، اثر متقابل درجه دوم جایگزینی شکر با استویوزید- ایزومالت و درجه اول جایگزینی ژلاتین با صمع فارسی و همچنین اثر متقابل درجه دوم جایگزینی شکر با استویوزید- ایزومالت و درجه اول درصد اسپیروولینا بر تغییرات سختی و قابلیت جویدن؛ اثر خطی درصد جایگزینی ژلاتین با استویوزید- ایزومالت و اثرات درجه دوم جایگزینی ژلاتین با صمع فارسی و درصد اسپیروولینا بر تغییرات چسبندگی؛ اثرات خطی درصد جایگزینی شکر با استویوزید- ایزومالت و درصد اسپیروولینا، اثر متقابل درصد جایگزینی شکر با استویوزید- ایزومالت و ژلاتین با صمع فارسی و اثر متقابل درصد جایگزینی شکر با استویوزید- ایزومالت و درصد اسپیروولینا بر تغییرات پیوستگی، و اثر درجه سوم درصد جایگزینی شکر با استویوزید- ایزومالت و اثر متقابل درجه دوم درصد اسپیروولینا بر شکر با استویوزید- ایزومالت و درجه اول درصد اسپیروولینا بر تغییرات ارجاعیت معنی‌دار بود ( $p < 0.001$ ) و ( $p < 0.001$ ). همانطور که معادله (۳) و (۷) نشان می‌دهد، سختی بافت و قابلیت جویدن با افزایش درصد جایگزینی شکر با استویوزید- ایزومالت بهویژه در مقادیر بالاتر افزایش یافت که علت این امر را می‌توان به تغییر ماده خشک فرمول، تغییر ویسکوزیته شبکه ژل و فراهم شدن امکان بیشتر جهت تشکیل

معادله (۷)

$$\begin{aligned} &= \text{قابلیت جویدن (N)} \\ &+ ۰/۵۵A^2 + ۰/۹۵B^2 - ۱/۹۱ABC + ۳/۳۱A^2B - ۰/۹۷A^2C \\ &+ ۰/۹۴ + ۰/۹۳A - ۱/۴۸AC - ۱/۳۲B - ۱/۱۸BC \end{aligned}$$

در نمودار سطح پاسخ (شکل ۲- A) مشاهده می‌شود که در سطح ۵۰ درصد اسپیرولینا و در هر سطح از جایگزینی شکر با استویوزید- ایزومالت، سختی بافت و قابلیت جویدن با افزایش درصد جایگزینی ژلاتین با صمع فارسی افزایش یافت. در سطوح بالاتر جایگزینی ژلاتین با صمع فارسی، سختی بافت و قابلیت جویدن با افزایش درصد جایگزینی ژلاتین با صمع فارسی افزایش یافت. روند ایزومالت استویوزید- ایزومالت ابتدا کاهش و سپس با شیب بیشتری افزایش پیدا کرد. در حالیکه در سطوح پایین تر جایگزینی ژلاتین با صمع فارسی، با افزایش درصد جایگزینی شکر با استویوزید- ایزومالت سختی بافت و قابلیت جویدن ابتدا افزایش و سپس با شیب بسیار ملایمی کاهش یافت. اثر متقابل درصد جایگزینی شکر با استویوزید- ایزومالت و درصد جایگزینی ژلاتین با صمع فارسی در مقادیر بالاتر (٪/٪ ۷۵)، منجر به افزایش سختی بافت و قابلیت جویدن نمونه‌های پاستیل رژیمی شد. در نمودار سه بعدی (شکل ۲-B)، در سطح ۵۰ درصد جایگزینی ژلاتین با صمع فارسی و در سطوح پایین تر اسپیرولینا، سختی بافت با افزایش درصد جایگزینی شکر با استویوزید- ایزومالت ابتدا روند یکنواخت و سپس افزایشی داشت. در سطوح بالاتر و پایین تر جایگزینی شکر با استویوزید- ایزومالت، به ترتیب، کاهش و افزایش سختی با افزایش درصد اسپیرولینا مشاهده شد. در سطح ۵۰ درصد جایگزینی شکر با استویوزید- ایزومالت و در هر سطح از اسپیرولینا، سختی با کاهش درصد جایگزینی ژلاتین با صمع فارسی افزایش پیدا کرد. در سطوح بالاتر و پایین تر جایگزینی ژلاتین با صمع فارسی، سختی با افزایش درصد اسپیرولینا به ترتیب، کاهش و افزایش یافت (شکل ۲-C). با توجه به نمودار سه بعدی (شکل ۲-H) مشاهده می‌شود که در سطح ۵۰ درصد جایگزینی ژلاتین با صمع فارسی و در هر سطح از جایگزینی شکر با استویوزید- ایزومالت، قابلیت جویدن با کاهش درصد اسپیرولینا افزایش یافت.

با صمع فارسی و اسپیرولینا نیز باعث کاهش چسبندگی گردید. تغییرات چسبندگی تیمارها احتمالاً با افزایش ویسکوزیته و استحکام ژل، و تغییر نوع و میزان ترکیبات فرمولاسیون پاستیل رژیمی در اثر استفاده از استویوزید، صمع فارسی و اسپیرولینا، و همچنین وقوع واکنش‌های شیمیایی متعدد میان اجزاء با یکدیگر و تأثیر آنها بر روی ویسکوزیته شبکه ژلی و ساختار و پیوندهای داخلی آن مرتب می‌باشد [۳۶]. بر طبق معادله (۵)، پیوستگی و انسجام بافت با افزایش درصد جایگزینی شکر با استویوزید- ایزومالت و درصد اسپیرولینا کاهش یافت. روند کاهشی پیوستگی نمونه‌ها با افزایش درصد اسپیرولینا احتمالاً به علت دناتوره شدن آن در حین فرایند تولید پاستیل و قرار گرفتن قسمت‌های هیدروفوب در سطح پروتئین بوده که منجر به باز شدن ساختار پروتئین آن و عدم تشکیل برخی پیوندهای بین مولکولی اسپیرولینا با سایر اجزای فرمولاسیون می‌شود [۳۷]. همچنین باید اشاره داشت که ساکارز موجود در فرمولاسیون محصولات، به واسطه افزایش ماده خشک، کاهش آب آزاد، افزایش قدرت یونی محیط و افزایش اثر هم-افزاچی میان ساکارز با سایر اجزاء فرمول نظری پروتئین سبب افزایش مقاومت مخلوط در برابر فشار و نیرو، و در نهایت افزایش پیوستگی و انسجام بافت می‌گردد. اما از طرفی غاظت‌های بالای آن نیز می‌تواند باعث سست شدن ماتریکس و تضعیف شبکه ژلی و کاهش انسجام و پیوستگی بافت گردد [۳۸]. بنابراین، جایگزینی شکر با استویوزید در فرمول پاستیل رژیمی تا حدودی می‌تواند اثر مثبت بر انسجام و پیوستگی بافت داشته باشد.

معادله (۳)

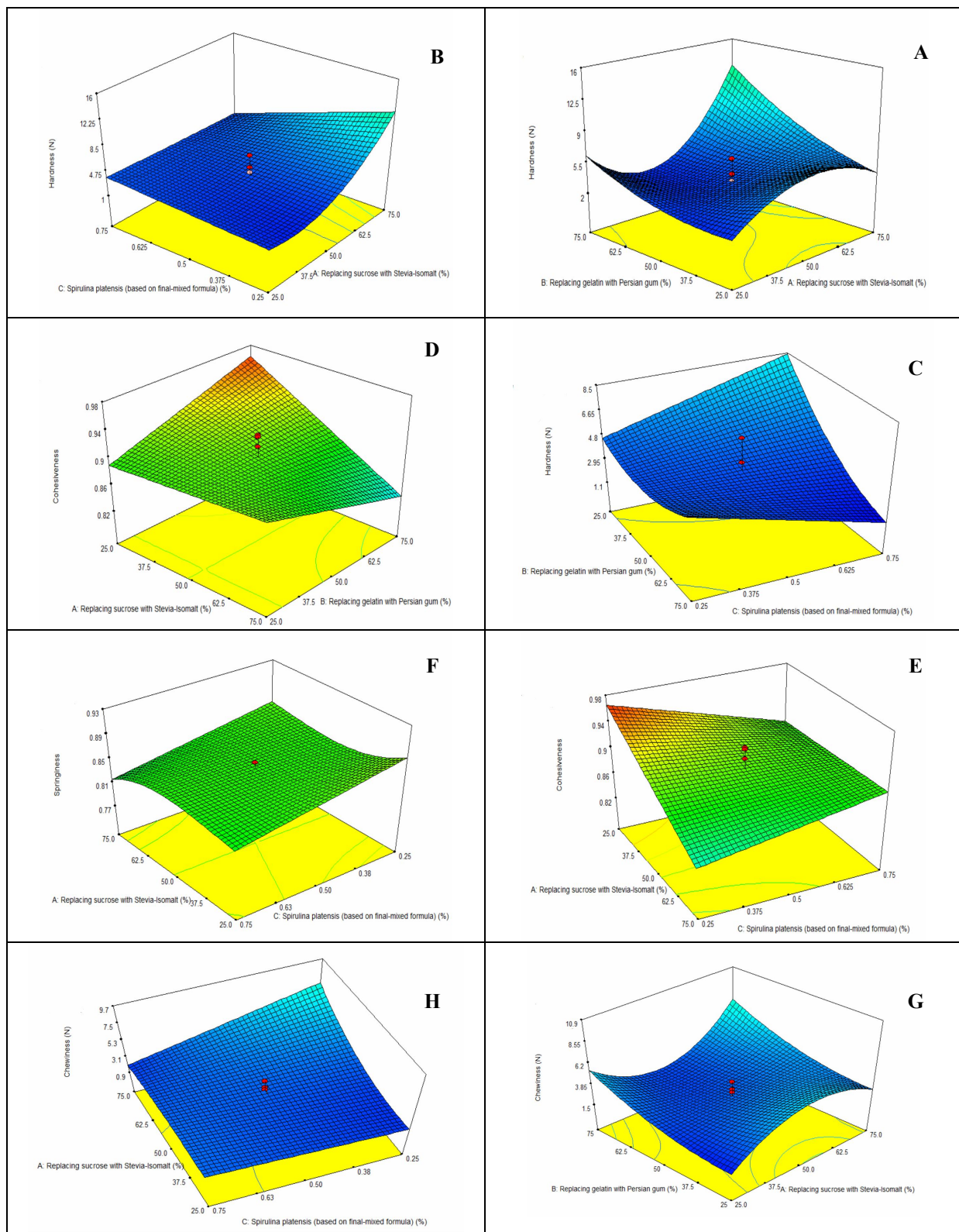
$$\begin{aligned} &= \text{سختی بافت (N)} \\ &+ ۱/۷۳A^2 + ۱/۹۱B^2 - ۲/۷۱ABC + ۴/۷۷A^2B - ۱/۶۵A^2C \\ &+ ۳/۶۱ + ۲/۰۸A - ۱/۷۲B + ۱/۲AB - ۲/۲۸AC - ۱/۹۱BC \end{aligned}$$

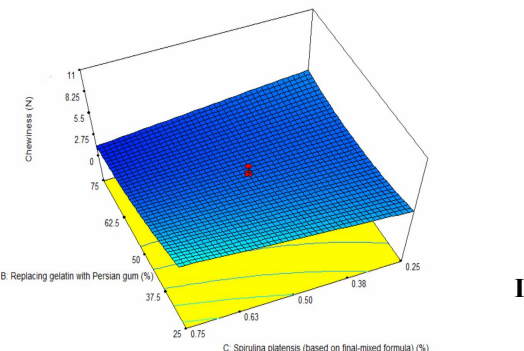
معادله (۴)

$$\begin{aligned} &= \text{چسبندگی (N.min)} \\ &+ ۰/۱۲ + ۰/۰۲۵A + ۸/۸۴E - ۰/۰۳۲B^2 - ۰/۰۱C^2 \end{aligned}$$

معادله (۵)

$$\begin{aligned} &= \text{پیوستگی} \\ &+ ۰/۹۰ - ۰/۰۲۹A - ۸/۱۱E - ۰/۰۳۷AB + ۰/۰۳۱AC \\ &+ ۰/۵۰E - ۰/۰۲۲A^2C - ۹/۵۰E - ۰/۰۲A^3 \end{aligned}$$





**Fig 2** The 3D response surface plots for the interaction effects of Replacement of sucrose with stevioside-isomalt and gelatin with persian gum on hardness, cohesiveness and chewiness (A, D, G), Replacement of sucrose with stevioside-isomalt and *Spirulina* on hardness, cohesiveness, springiness and chewiness (B, E, F, H), and Replacement of gelatin with persian gum and *Spirulina* on hardness and chewiness (C, I)

امولاسیون روغن در آب (O/W)، استحکام و مقاومت امولاسیون به صورت خطی افزایش یافته است [۴۰]. نتایج پژوهش چروناسکیس (۲۰۱۱)، نیز نشان داد که با افزایش غلظت ایزوله پروتئین اسپیرولینا پلاتنسیس، مدول الاستیستیه ژل افزایش می‌یابد که این ناشی از پیوندهای الکترواستاتیک حین تشکیل ژل می‌باشد [۴۱].

با این وجود، در مقادیر بالاتر جایگزینی شکر با استویوزید-ایزومالت و ژلاتین با صمغ فارسی (٪/٪۷۵)، کاهش سختی بافت را با افزایش درصد اسپیرولینا شاهد بوده که علت را می‌توان قابلیت جذب و نگهداری آب بالا توسط ترکیبات فیبری موجود در اسپیرولینا و اثرات سینرژیستی میان اجزا فرمولاسیون از جمله ژلاتین، صمغ فارسی و قند استویوزید با اسپیرولینا نسبت داد. به علاوه، برخی از محققان بر این باورند که ذرات بزرگ اسپیرولینا و سلول‌های پروکاریوتی آن که قادر دیواره‌های سخت سلولی هستند از طریق جذب سریع آب می‌تواند باعث ناپایداری و سست شدن شبکه ژل و نهایتاً ایجاد ساختار نرم‌تر شود [۴۲]. مالیک (۲۰۱۱)، گزارش نمود که با افزایش سطوح جایگزینی اسپیرولینا با پایدار کننده‌ها در مخلوط بستنی به‌ویژه در سطوح جایگزینی بالاتر از ۵۰٪ سختی بافت بستنی کاهش معنی‌داری داشته است [۴۳].

پدیده سینرژیستی میان ژلاتین و صمغ فارسی می‌تواند منجر به افزایش ویسکوزیته، افزایش قدرت تشکیل ژل و یا افزایش انسجام اجزای فرمولاسیون در شبکه ژلی در کنار یکدیگر گردد [۱]. لذا، در هر سطح از جایگزینی شکر با استویوزید-ایزومالت، پیوستگی با افزایش درصد جایگزینی

به علاوه، در هر سطح از اسپیرولینا روند تغییرات قابلیت جویدن با افزایش درصد جایگزینی شکر با استویوزید-ایزومالت افزایشی بود. در نمودار سه بعدی (شکل ۲-I)، در سطح ۵۰ درصد جایگزینی ژلاتین با صمغ فارسی، افزایش قابلیت جویدن با کاهش درصد اسپیرولینا مشاهده شد. در هر سطح از اسپیرولینا نیز با افزایش درصد جایگزینی ژلاتین با صمغ فارسی قابلیت جویدن افزایش پیدا کرد. نتایج حاصل از این تحقیق بیانگر آن است که در مقادیر کمتر جایگزینی شکر با استویوزید-ایزومالت و ژلاتین با صمغ فارسی (٪/٪۲۵)، افزایش درصد اسپیرولینا در فرمول پاستیل سبب افزایش سختی بافت نمونه‌ها شد. به نظر می‌رسد که ریزجلبک اسپیرولینا به دلیل داشتن مقادیر قابل توجه پروتئین، چربی و فiber رژیمی باعث تغییر ویسکوزیته مخلوط می‌شود، و از این طریق می‌تواند تأثیر قابل توجهی بر میزان سختی بافت نمونه‌ها داشته باشد. احتملاً بخش پروتئینی اسپیرولینا از طریق تعامل‌های الکترواستاتیک و ایجاد پیوندهای هیدروژنی میان گروه‌های آمید- هیدروکسیل و هیدروکسیل- کربونیل با گروه‌های قطبی موجود در ساختار ژلاتین و صمغ فارسی باعث افزایش استحکام و مقاومت ژل شده، که در نهایت منجر به افزایش سختی شده است. البته افزایش جذب آب فرمولاسیون توسط اجزای اسپیرولینا از جمله فایکوسینین نیز می‌تواند باعث افزایش سختی شده است. مشاهده ژلاتین بافت گردد [۴۹]. باتیستا و همکاران (۲۰۰۶)، مشاهده نمودند که با افزودن فایکوسینین استخراج شده از اسپیرولینا به

سپس افزایش یافت. تغییرات مشاهده شده در میزان ارجاعیت تیمارها، احتمالاً به دلیل تغییر ویسکوزیته سیستم و واکنش‌های شیمیایی متعدد میان اسپیرولینا و سایر اجزاء موجود در فرمولاسیون بوده است. به عبارتی، این امکان وجود دارد که تداخل مولکول‌های چربی و پروتئین موجود در اسپیرولینا با سایر ترکیبات فرمولاسیون سبب ایجاد اتصالات متقاطع در سیستم و ایجاد شبکه‌ای با ویژگی‌های بافتی متفاوت شده باشد [۴۴].

### ۳-۳- بهینه‌یابی فرمولاسیون

پس از تعیین مدل، بهینه‌سازی به منظور دست‌یابی به سطحی از متغیرهای مستقل که در نتیجه به کارگیری آنها بهترین فرمولاسیون از لحاظ ویژگی‌های فیزیکی و بافتی پاستیل رژیمی غنی شده به دست آید، انجام شد. نمونه‌های پاستیل رژیمی تولیدی با فرمولاسیون حاوی ۱۳٪ جایگزینی شکر با استویوزید- ایزومالت، ۱۰۰٪ جایگزینی ژلاتین با صنع فارسی و ۰٪ اسپیرولینا، فرمولاسیون حاوی ۶۰٪ جایگزینی شکر با استویوزید- ایزومالت، ۱۰۰٪ جایگزینی ژلاتین با صنع فارسی و ۰٪ اسپیرولینا به عنوان بهترین فرمولاسیون معرفی گردید. در جدول ۴ دامنه مقادیر بدست آمده برای فرایند بهینه‌سازی و هدف آن مشخص شده است.

ژلاتین با صنع فارسی به طور خطی افزایش یافت. و بیشترین پیوستگی در مقادیر بالاتر جایگزینی ژلاتین با صنع فارسی (۷۵٪)، و مقادیر کمتر جایگزینی شکر با استویوزید- ایزومالت (۲۵٪) حاصل گردید. با توجه به نمودار سه بعدی (شکل ۲-D)، در سطح ۵۰ درصد اسپیرولینا و در هر سطح از جایگزینی ژلاتین با صنع فارسی، افزایش پیوستگی با کاهش درصد جایگزینی شکر با استویوزید- ایزومالت مشاهده شد. مطابق با شکل (E)، در سطح ۵۰ درصد جایگزینی ژلاتین با صنع فارسی و در هر سطح از اسپیرولینا، افزایش پیوستگی با کاهش درصد جایگزینی شکر با استویوزید- ایزومالت، پیوستگی با افزایش درصد اسپیرولینا به استویوزید- ایزومالت، روند افزایشی و کاهشی داشت. همانطور که در شکل (F-۲) مشخص است، در سطح ۵۰ درصد جایگزینی ژلاتین با صنع فارسی و در هر سطح از جایگزینی شکر با استویوزید- ایزومالت، ارجاعیت با کاهش درصد اسپیرولینا افزایش یافت. در سطوح بالاتر اسپیرولینا، روند تغییرات ارجاعیت با افزایش درصد جایگزینی شکر با استویوزید- ایزومالت ابتدا افزایشی و سپس کاهشی با شبیه بسیار کم بود. در حالیکه در سطوح پایین تر اسپیرولینا، ارجاعیت با افزایش درصد جایگزینی شکر با استویوزید- ایزومالت ابتدا کاهش و

Table 4 Values for optimization and its feature or purpose

| Independent variable and response                   | Lower limit | Higher limit | Purpose     |
|---|-------------|--------------|-------------|
| Replacement of sucrose with stevioside- isomalt (%) | 0           | 100          | Maximize    |
| Replacement of gelatin with persian gum (%)         | 0           | 100          | Maximize    |
| Spirulina (%)                                       | 0           | 1.00         | is in range |
| Density (g/cm <sup>3</sup> )                        | 0.82        | 1.3          | Minimize    |
| Hardness (N)  | 1.2         | 21.2         | Maximize    |
| Adhesiveness (N.min)                                | 0.0022      | 0.0261       | Minimize    |
| Cohesiveness  | 0.79        | 0.97         | Maximize    |
| Springiness   | 0.77        | 0.92         | Maximize    |
| Chewiness (N)                                       | 0.909       | 14.65        | Maximize    |

را به جذب آب فرمول توسط بخش پروتئینی اسپیرولینا (۳۳٪)، و یا آزاد شدن بخش مهمی از آب جذب شده توسط صنع فارسی در اثر تخریب حرارتی ساختمان این هیدرولکلورید حساس به حرارت (۱۴)، در حین فرایند تولید پاستیل نسبت داد. نمونه پاستیل رژیمی تولیدی حاوی درصدهای کمتر اسپیرولینا (بهینه ۲) از میزان رطوبت کمتری نسبت به نمونه

### ۳-۴- مقایسه نمونه‌های بهینه و شاهد در طول دوره نگهداری

#### ۳-۴-۱- ویژگی‌های فیزیکوشیمیایی

با توجه به نتایج جدول ۵ مشاهده می‌شود که میزان رطوبت نمونه‌های بهینه نسبت به نمونه شاهد در طی دوره نگهداری کاهش معنی‌داری داشت ( $p < 0.05$ ، که می‌توان علت این امر

نگهداری (روز ۶۰)، نسبت به روزهای آغازین بود ( $p < 0.05$ )، که علت این مطلب را می‌توان با پدیده مهاجرت رطوبت طی زمان نگهداری مرتبط دانست.

نتایج حاصل از بررسی برخی ویژگی‌های کیفی نمونه‌های پاستیل رژیمی تولیدی و نمونه شاهد (٪ جایگزینی شکر با استویوزید- ایزومالت، ٪ جایگزینی ژلاتین با صمغ فارسی، ٪ اسپیرولینا) نشان داد که محتوی پروتئین، چربی و خاکستر پاستیل رژیمی غنی شده حاوی ٪ اسپیرولینا، نسبت به نمونه پاستیل رژیمی حاوی ٪ اسپیرولینا و نمونه شاهد به طور معنی‌داری افزایش پیدا کرد ( $p < 0.05$ ). به عبارت دیگر، استفاده از اسپیرولینا به ویژه مقادیر بالاتر آن در فرموله کردن پاستیل رژیمی اثر چشمگیری بر بهبود ارزش تغذیه‌ای محصول نهایی داشت. زیرا اسپیرولینا پلاتسیس منع غنی از پروتئین (۶۰-۷۰ درصد وزن خشک) و لیپیدها (۶-۸ درصد) می‌باشد. به علاوه، اسپیرولینا منبع خوبی از آهن، کلسیم، و سایر عناصر معدنی از جمله روی، منیزیم، سلنیوم و پتاسیم است [۴۱].

بهینه ۱ برخوردار بود ( $p < 0.05$ ). رسولی و همکاران (۱۳۹۴)، با بررسی بهینه‌سازی فرمولاسیون بستنی سنتی ایرانی حاوی ریز جلبک اسپیرولینا به این نتیجه دست یافتند که با افزایش سطوح اسپیرولینا در فرمول بستنی، فعالیت آبی و رطوبت تیمارها نسبت به گروه کنترل کاهش پیدا کرده است [۱۱]. با توجه به نتایج مقایسه دانسیته نمونه‌های بهینه و نمونه شاهد، دانسیته نمونه‌های پاستیل رژیمی تولیدی به طور معنی‌داری (٪  $p < 0.05$ )، نسبت به نمونه شاهد افزایش یافت. دانسیته نمونه‌های پاستیل رژیمی تولیدی با افزایش درصد اسپیرولینا و کاهش درصد جایگزینی شکر با استویوزید- ایزومالت نیز کاهش قابل توجهی داشت ( $p < 0.05$ ). به نظر می‌رسد تفاوت دانسیته میان نمونه‌ها بدلیل وجود تفاوت‌های ساختاری از جمله وزن مولکولی، درجه پلیمریزاسیون و خاصیت آبدوستی میان ساکارز با استویوزید، و همچنین ژلاتین و صمغ فارسی، و در نهایت تغییر ویسکوزیته شبکه ژلی در اثر حضور ریز جلبک اسپیرولینا باشد [۴۵]. بررسی روند تغییرات دانسیته طی مدت زمان ماندگاری بیانگر کاهش دانسیته نمونه‌ها در روز پایانی

**Table 5** Comparison of physicochemical characteristics of optimal and control samples during storage

| Sample           | Day | Moisture (%)            | Density (g/cm <sup>3</sup> ) | Protein (%)             | Fat (%)                | Ash (%)                |
|------------------|-----|-------------------------|------------------------------|-------------------------|------------------------|------------------------|
| <b>Blank</b>     | 0   | 28.00±0.51 <sup>a</sup> | 0.88±0.07 <sup>def</sup>     | 0.23±0.02 <sup>b</sup>  | 0.16±0.02 <sup>b</sup> | 0.45±0.03 <sup>c</sup> |
|                  | 15  | 21.87±1.13 <sup>b</sup> | 0.87±0.13 <sup>def</sup>     | -                       | -                      | -                      |
|                  | 30  | 19.73±0.20 <sup>c</sup> | 0.79±0.06 <sup>defg</sup>    | -                       | -                      | -                      |
|                  | 45  | 14.85±1.02 <sup>d</sup> | 0.74±0.05 <sup>fg</sup>      | -                       | -                      | -                      |
|                  | 60  | 12.39±0.41 <sup>e</sup> | 0.69±0.04 <sup>g</sup>       | -                       | -                      | -                      |
| <b>Optimal 1</b> | 0   | 15.05±0.69 <sup>d</sup> | 1.1±0.12 <sup>ab</sup>       | 12.61±0.90 <sup>a</sup> | 0.29±0.02 <sup>a</sup> | 0.70±0.02 <sup>a</sup> |
|                  | 15  | 10.97±0.10 <sup>f</sup> | 0.96±0.04 <sup>bcd</sup>     | -                       | -                      | -                      |
|                  | 30  | 7.43±0.60 <sup>g</sup>  | 0.91±0.09 <sup>cde</sup>     | -                       | -                      | -                      |
|                  | 45  | 4.53±0.50 <sup>i</sup>  | 0.84±0.04 <sup>defg</sup>    | -                       | -                      | -                      |
|                  | 60  | 3.68±0.52 <sup>ij</sup> | 0.78±0.07 <sup>efg</sup>     | -                       | -                      | -                      |
| <b>Optimal 2</b> | 0   | 7.54±0.56 <sup>g</sup>  | 1.18±0.13 <sup>a</sup>       | 0.58±0.10 <sup>b</sup>  | 0.18±0.02 <sup>b</sup> | 0.55±0.03 <sup>b</sup> |
|                  | 15  | 6.04±0.78 <sup>h</sup>  | 1.12±0.13 <sup>a</sup>       | -                       | -                      | -                      |
|                  | 30  | 4.41±0.24 <sup>i</sup>  | 1.11±0.12 <sup>ab</sup>      | -                       | -                      | -                      |
|                  | 45  | 2.98±0.53 <sup>j</sup>  | 1.05±0.06 <sup>abc</sup>     | -                       | -                      | -                      |
|                  | 60  | 3.01±0.16 <sup>j</sup>  | 0.92±0.07 <sup>cde</sup>     | -                       | -                      | -                      |

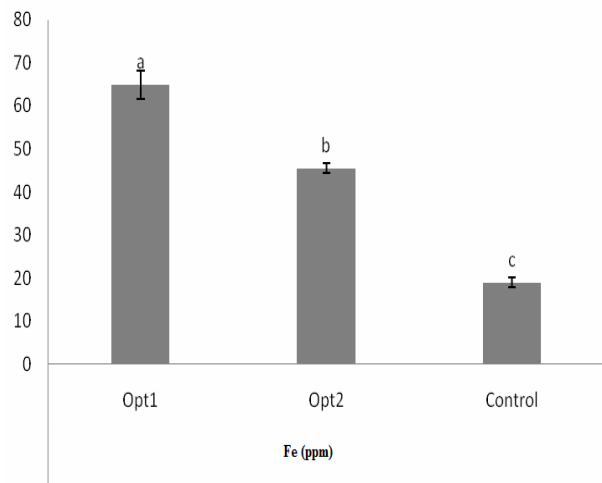
Different superscript letters indicate significant difference ( $P < 0.05$ )

Optimal 1: 60% replacement of sucrose with stevioside- isomalt, 100% replacement of gelatin with persian gum and 0.02% *Spirulina*; Optimal 2: 13% replacement of sucrose with stevioside- isomalt, 100% replacement of gelatin with persian gum and 0.28% *Spirulina*



ارزیابی بافت نمونه‌ها نشان داد میزان سختی بافت نمونه‌های بهینه و نمونه شاهد در طی روزهای ۰، ۱۵، ۴۵ و ۶۰ نگهداری تغییر معنی‌داری نکرد ( $p > 0.05$ ), و تنها در روز ۳۰ نگهداری، افزایش چشمگیر سختی بافت در نمونه بهینه ۲ نسبت به سایر نمونه‌ها مشاهده شد ( $p < 0.05$ ). در روزهای پایانی نگهداری (روز ۴۵ و ۶۰)، نمونه بهینه ۲ از چسبندگی بالاتری نسبت به سایر نمونه‌ها برخوردار بود ( $p < 0.05$ ). نتایج حاصل از آنالیز پروفایل بافت بیانگر وجود تفاوت معنی‌دار میان نمونه‌های پاستیل رژیمی تولیدی و نمونه شاهد در طول دوره نگهداری از نظر پیوستگی بود، و نمونه شاهد پیوستگی بیشتری نسبت به نمونه‌های بهینه داشت ( $p < 0.05$ ). با توجه به نتایج به دست آمده می‌توان گفت که در روزهای ۳۰، ۴۵ و ۶۰ نگهداری، ارجاعیت نمونه شاهد به‌طور قابل ملاحظه‌ای بالاتر از نمونه‌های پاستیل رژیمی تولیدی بود ( $p < 0.05$ ). نمونه شاهد و نمونه بهینه ۲ از نظر میزان صمغی بودن تفاوت معنی‌داری با یکدیگر نداشتند ( $p > 0.05$ ), و نسبت به نمونه بهینه ۱ صمغی‌تر بودند ( $p < 0.05$ ). روند تغییرات قابلیت جویدن میان نمونه‌های بهینه و نمونه شاهد در طول دوره نگهداری شباهت زیادی با یکدیگر داشت ( $p < 0.05$ )، (جدول ۶). به‌طور کلی، به نظر می‌رسد بتوان تغییرات مشاهده شده در پارامترهای بافتی را با مکانیسم‌هایی که باعث تغییر ویسکوزیته سیستم شده‌اند، مرتبط دانست [۵۰]. از سوی دیگر، تغییر در ساختار ژلی و خواص رئولوژیکی نمونه‌های پاستیل رژیمی تولیدی در اثر تغییر مقادیر متغیرهای فرمولاسیون را می‌توان با ناسازگاری ترمودینامیکی میان پروتئین‌های ریز جلبک اسپیرولینا با سایر اجزای نمونه مرتبط دانست [۱۳]. همچنین باید اظهار داشت که تغییرات ویژگی‌های بافتی نمونه‌ها در طی دوره نگهداری احتمالاً به علت از دست رفتن رطوبت، آرایش مجدد پلیمرها در ناحیه آموروف و توزیع رطوبت میان ناحیه آموروف و کریستالی بوده است [۳۴].

نتایج پژوهش مستولی زاده و همکاران (۱۳۹۶)، در رابطه با تأثیر افزودن پودر ریز جلبک اسپیرولینا در سطوح ۰٪ تا ۱٪ به فرمول پاستا، بیانگر افزایش محتوی پروتئین و چربی با افزایش سطوح اسپیرولینا است [۴۶]. سوزنکار و همکاران (۱۳۹۷)، با غنی‌سازی ویفر روکش‌دار با استفاده از پودر ریز جلبک اسپیرولینا پلاتنسیس در سطوح ۰٪ تا ۱٪، بیان داشتند که مقادیر پروتئین و آهن در نمونه‌های ویفر غنی شده با اسپیرولینا به‌طور قابل توجهی افزایش یافته است [۴۷]. با توجه به نتایج شکل ۳ مشاهده می‌شود که محتوی آهن نمونه‌های بهینه نسبت به نمونه شاهد افزایش یافت ( $p < 0.05$ ). به علاوه، افزایش محتوی آهن در نمونه پاستیل رژیمی دارای درصد بالاتر (۰٪/۲۸) اسپیرولینا کاملاً مشهود بود ( $p < 0.05$ ). در تحقیقات پیشین میزان آهن در ریز جلبک اسپیرولینا پلاتنسیس، حدود ۱۲۵۰۰۰ میکروگرم آهن در هر ۱۰۰ گرم وزن خشک گزارش شده است [۴۸]. نتایج گلمنکانی و همکاران (۱۳۹۳)، در رابطه با غنی‌سازی کیک یزدی با استفاده از ریز جلبک اسپیرولینا پلاتنسیس نیز نشان داده است که مقادیر آهن، سلنیوم، فسفر، منیزیم، منگنز و کلسیم نمونه‌های کیک غنی شده افزایش یافته است [۴۹].



**Fig 3** Comparison of iron content of optimal and control samples

Different superscripts indicate a significant difference at  $p < 0.05$ .

Optimal 1: 60% replacement of sucrose with stevioside-isomalt, 100% replacement of gelatin with persian gum and 0.02% *Spirulina*; Optimal 2: 13% replacement of sucrose with stevioside-isomalt, 100% replacement of gelatin with persian gum and 0.28% *Spirulina*



**Table 6** Comparison of textural properties of optimal and control samples during storage

| Sample    | Day | Hardness<br>(N)             | Adhesiveness<br>(N. min) | Cohesiveness               | Springiness               | Gumminess<br>(N)            | Chewiness<br>(N)            |
|-----------|-----|-----------------------------|--------------------------|----------------------------|---------------------------|-----------------------------|-----------------------------|
| Blank     | 0   | 4.50± 0.53 <sup>b</sup>     | 0.01± 0.00 <sup>c</sup>  | 1.00±0.015 <sup>a</sup>    | 0.87± 0.09 <sup>a</sup>   | 4.49 ± 0.59 <sup>bc</sup>   | 3.87± 0.20 <sup>bc</sup>    |
|           | 15  | 14.52± 0.36 <sup>b</sup>    | 0.00±0.01 <sup>c</sup>   | 0.98±0.014 <sup>a</sup>    | 0.93± 0.03 <sup>a</sup>   | 14.18±0.16 <sup>abc</sup>   | 13.24 ± 0.35 <sup>bc</sup>  |
|           | 30  | 33.63± 1.93 <sup>b</sup>    | 0.01± 0.01 <sup>c</sup>  | 0.95± 0.016 <sup>a</sup>   | 0.93±0.04 <sup>a</sup>    | 31.80± 1.72 <sup>abc</sup>  | 29.53± 2.92 <sup>abc</sup>  |
|           | 45  | 27.53 ± 3.79 <sup>b</sup>   | 0.01± 0.01 <sup>c</sup>  | 0.97±0.017 <sup>a</sup>    | 0.95 ± 0.04 <sup>a</sup>  | 26.67± 3.57 <sup>abc</sup>  | 25.47± 4.27 <sup>abc</sup>  |
|           | 60  | 42.87± 8.05 <sup>b</sup>    | 0.02± 0.01 <sup>c</sup>  | 0.94± 0.01 <sup>a</sup>    | 0.94± 0.05 <sup>a</sup>   | 40.37± 7.25 <sup>abc</sup>  | 37.61± 5.91 <sup>ab</sup>   |
| Optimal 1 | 0   | 80.20± 11.62 <sup>b</sup>   | 1.10± 0.51 <sup>a</sup>  | 0.36± 0.098 <sup>cd</sup>  | 0.97± 0.02 <sup>a</sup>   | 29.42± 11.07 <sup>abc</sup> | 28.50± 10.18 <sup>abc</sup> |
|           | 15  | 96.00± 62.55 <sup>b</sup>   | 1.01± 0.72 <sup>a</sup>  | 0.47±0.224 <sup>b</sup>    | 0.75 ± 0.08 <sup>ab</sup> | 37.86±26.85 <sup>abc</sup>  | 28.68± 21.85 <sup>abc</sup> |
|           | 30  | 38.20± 17.93 <sup>b</sup>   | 0.11 ± 0.08 <sup>c</sup> | 0.10± 0.035 <sup>efg</sup> | 0.39±0.10 <sup>cd</sup>   | 3.45± 0.066 <sup>c</sup>    | 1.34 ± 0.50 <sup>bc</sup>   |
|           | 45  | 78.73±45.25 <sup>b</sup>    | 0.16 ± 0.08 <sup>c</sup> | 0.11± 0.015 <sup>efg</sup> | 0.54 ± 0.14 <sup>bc</sup> | 9.04 ± 6.18 <sup>bc</sup>   | 4.92± 3.88 <sup>bc</sup>    |
|           | 60  | 73.53± 13.11 <sup>b</sup>   | 0.39± 0.19 <sup>bc</sup> | 0.04± 0.011 <sup>g</sup>   | 0.27± 0.13 <sup>d</sup>   | 3.01± 1.03 <sup>c</sup>     | 0.80± 0.53 <sup>c</sup>     |
| Optimal 2 | 0   | 74.77± 38.05 <sup>b</sup>   | 0.37± 0.15 <sup>bc</sup> | 0.23± 0.054 <sup>cde</sup> | 0.97± 0.04 <sup>a</sup>   | 15.55 ± 4.27abc             | 15.04± 3.98 <sup>abc</sup>  |
|           | 15  | 130.54± 183.14 <sup>b</sup> | 0.27± 0.33 <sup>bc</sup> | 0.22± 0.083 <sup>cde</sup> | 0.57 ± 0.31 <sup>bc</sup> | 37.42± 56.81 <sup>a</sup>   | 32.59± 53.01 <sup>a</sup>   |
|           | 30  | 658.74± 406.46 <sup>a</sup> | 0.20±0.17 <sup>c</sup>   | 0.08± 0.023 <sup>fg</sup>  | 0.24±0.12 <sup>d</sup>    | 47.38± 24.51 <sup>ab</sup>  | 9.97 ± 5.13 <sup>abc</sup>  |
|           | 45  | 110.37± 31.49 <sup>b</sup>  | 0.82± 0.54 <sup>ab</sup> | 0.30± 0.112 <sup>bc</sup>  | 0.52± 0.23 <sup>bc</sup>  | 35.03± 19.96 <sup>abc</sup> | 21.05± 15.54 <sup>abc</sup> |
|           | 60  | 198.03± 62.85 <sup>b</sup>  | 0.82± 0.42 <sup>ab</sup> | 0.19± 0.055 <sup>def</sup> | 0.55± 0.10 <sup>bc</sup>  | 35.59± 3.89 <sup>abc</sup>  | 19.36± 3.81 <sup>abc</sup>  |

Different superscriptsindicate a significant difference at p&lt;0.05.

Optimal 1: 60% replacement of sucrose with stevioside- isomalt, 100% replacement of gelatin with persian gum and 0.02% *Spirulina*; Optimal 2: 13% replacement of sucrose with stevioside- isomalt, 100% replacement of gelatin with persian gum and 0.28% *Spirulina*

از نظر امتیاز بافت تفاوت معنی داری با یکدیگر نشان دادند، به طوریکه نمونه بهینه ۲ نسبت به نمونه بهینه ۱، امتیاز بافت بالاتری دریافت کرد ( $p < 0.05$ ). در مجموع، پذیرش کمتر نمونه های بهینه در مقایسه با نمونه شاهد را می توان به تغییر ویسکوزیته شبکه ژلی آنها که تأثیر معکوس بر عطر و طعم دارد، نسبت داد [۵۱]. نتایج تحقیقی در رابطه با استفاده از پودر ریز جلبک اسپیروولینا پلاتنسیس در تولید کلوچه سنتی، حاکی از کاهش معنی دار امتیاز حسی نمونه های حاوی این ریز جلبک بود، و پس از نمونه شاهد، نمونه های حاوی ۱ و ۱/۵ درصد اسپیروولینا بالاترین امتیاز حسی را داشتند [۴۸]. آگوستینی و همکاران (۲۰۱۶)، بیان کردند که افزودن اسپیروولینا پلاتنسیس به بستنی و پنیر نرم تأثیر منفی بر بوی آنها داشته و باعث ایجاد بوی ناخوشایند شبیه به بوی ماهی در این محصولات گردیده است [۵۲].

### ۳-۴- خصوصیات حسی

بر طبق نتایج جدول ۷، نمونه های بهینه و نمونه شاهد تفاوت معنی داری با یکدیگر از نظر میزان شیرینی و رنگ نداشتند ( $p > 0.05$ ). عدم وجود تفاوت معنی دار میان نمونه های بهینه و نمونه شاهد از نظر امتیاز رنگ را می توان اینگونه توضیح داد که شاید رنگ سبز اسپیروولینا برای برخی مورد پسند بوده و شاید برخی دیگر این رنگ را نوعی تنوع و نوآوری دانستند و بیشتر پسندیدند. به نظر می رسد که در صورت آگاهی مصرف کنندگان از اضافه شدن پودر سبز رنگ اسپیروولینا به پاستیل رژیمی و بهبود ارزش تغذیه ای آن، با تغییر رنگ به وجود آمده کنار خواهد آمد. نمونه شاهد از حیث برخی از ویژگی های حسی نظیر طعم و مزه، طعم پس تلخ، بافت و پذیرش کلی امتیاز بالاتری را نسبت به نمونه های پاستیل رژیمی غنی شده کسب نمود ( $p < 0.05$ ). نمونه های پاستیل رژیمی تولیدی تنها

**Table 7** Comparison of sensory properties of optimal and control samples

| Treatment | Sweetness              | Taste                  | After taste            | Colour                 | Texture                | Overall acceptance     |
|-----------|------------------------|------------------------|------------------------|------------------------|------------------------|------------------------|
| Optimal 1 | 3.67±1.23 <sup>a</sup> | 3.33±1.50 <sup>b</sup> | 3.00±1.31 <sup>b</sup> | 3.53±1.41 <sup>a</sup> | 2.87±1.13 <sup>c</sup> | 3.00±1.20 <sup>b</sup> |
| Optimal 2 | 4.00±0.93 <sup>a</sup> | 3.47±1.13 <sup>b</sup> | 3.60±0.91 <sup>b</sup> | 3.80±1.08 <sup>a</sup> | 3.60±0.99 <sup>b</sup> | 3.60±0.99 <sup>b</sup> |
| Blank     | 4.20±0.68 <sup>a</sup> | 4.40±0.91 <sup>a</sup> | 4.67±0.74 <sup>a</sup> | 4.33±0.82 <sup>a</sup> | 4.76±0.49 <sup>a</sup> | 4.67±0.72 <sup>a</sup> |

Different superscriptsindicate a significant difference at p&lt;0.05.

Optimal 1: 60% replacement of sucrose with stevioside- isomalt, 100% replacement of gelatin with persian gum and 0.02% *Spirulina*; Optimal 2: 13% replacement of sucrose with stevioside- isomalt, 100% replacement of gelatin with persian gum and 0.28% *Spirulina*

## ۴-نتیجه‌گیری کلی

### ۶-منابع

- [1] Basiri, S.H., and Shahidi, F. 2015, Investigation on the effects of different amounts of gelatin and guar on texture, organoleptic and color properties of white mulberry pastille, Iranian Food Science and Technology Research Journal, 13 (1), 1-13 (In Persian).
- [2] Maghami kia, H., Khalilian, S., and Mohammadi, A. 2013, The possibility of using natural sweetener (graps concentrate white and red) in the formulation of soy bean, 29-31 Oct, The 21<sup>st</sup> congress of Iranian food science and technology. Shiraz university, 1-5 (In Persian).
- [3] Homayouni-Rad, A., Hajieghrary, F., and Khodavirdivand Keshtiban, A. 2017, The effects of sucrose substitution with date syrup on rheological and organoleptic properties of Kooshab, Food Science and Technology. 14 (64), 155-163 (In Persian).
- [4] Pon, S.Y., Lee, W.J., and Chong, G.H. 2015, Textural and rheological properties of Stevia ice cream, International Food Research Journal, 22 (4), 1544-1549.
- [5] Grotz, V.L. and Munro, I.C. 2009, An overview of the safety of sucralose, Journal of Regulatory Toxicology and Pharmacology, 55, 1-5.
- [6] Pilehvaran, M., Bi farqi toosi, S.H., Tavakolipoor, H., and Golimovahed, G.H. 2014, Use texture profile analysis Tpa at effect of alternative sweetener in steviosid, sorbitol and isomalt at texture Yazdi Cakes. 1<sup>th</sup> National Conference on between meals Mashhad, Mashhad university jihad institute of food science and technology, 30 Apr, 1-8. (In Persian).
- [7] Aidoo, R.P., Afoakwa, E.O., and Dewettinck, K. 2014, Rheological properties, melting behaviors and physical quality characteristics of sugar-free chocolates processed using inulin/ polydextrose bulking mixtures sweetened with stevia and thaumatin extracts, LWT- Food Science and Technology, 62 (1), 592-597.
- [8] Gao, J., Brennan, M.A., Mason, S.L., and Brennan, C.S. 2017, Effects of sugar substitution with "Stevianna" on the sensory characteristics of muffins, Journal of Food Quality, 1-11, doi.org/10.1155/2017/8636043.
- [9] Shetty, k., Paliyath, G., Pometto, A., and Levin, R.E. 2006, Food Biotechnology, CRC Press, 498P.
- [10] Mostafa, M.S.I., Yassin, M.E.A., and Michele, P. 2016, Role of pH on antioxidants production by Spirulina (Arthrospira)

نتایج این پژوهش نشان داد که روش سطح پاسخ، روش خوب و قابل اطمینان برای انتخاب شرایط بهینه تولید پاستیل رژیمی غنی شده با استفاده از مخلوط قند استویوزید- ایزومالت و اسپیرولینا پلاتنسیس است. افزایش درصد جایگزینی شکر با استویوزید- ایزومالت و جایگزینی ژلاتین با صمغ فارسی بهترین شرایط تولید پاستیل رژیمی غنی شده را می‌توان فرمولاسیون‌های حاوی ۱۳٪ جایگزینی شکر با استویوزید- ایزومالت، ۱۰٪ جایگزینی ژلاتین با صمغ فارسی و ۰٪ اسپیرولینا، و ۶٪ جایگزینی شکر با استویوزید- ایزومالت، ۱۰٪ جایگزینی ژلاتین با صمغ فارسی و ۰٪ اسپیرولینا پیشنهاد کرد که تحت این شرایط میزان آهن به طور چشمگیری افزایش یافت. جایگزینی ساکارز با استویوزید- ایزومالت و ژلاتین با صمغ فارسی و همچنین استفاده از اسپیرولینا در فرمول پاستیل موجب افزایش دانسیته نمونه‌های رژیمی غنی‌سازی شده نسبت به نمونه شاهد گردید ( $p<0.05$ )، در حالیکه سختی بافت را تحت تأثیر قرار نداد ( $p>0.05$ ). پاستیل رژیمی تولیدی با فرمولاسیون شامل ۶۰٪ جایگزینی شکر با استویوزید- ایزومالت، ۱۰٪ جایگزینی ژلاتین با صمغ فارسی و ۰٪ اسپیرولینا از نظر صمغی بودن مشابه با نمونه شاهد بود ( $p>0.05$ ). نتایج حاصل از ارزیابی حسی نشان داد نمونه شاهد نسبت به نمونه پاستیل‌های رژیمی تولیدی از امتیاز طعم، بافت و پذیرش کلی بالاتری برخوردار بودند ( $p<0.05$ ). به طور کلی، ریزجلبک اسپیرولینا و مخلوط استویوزید- ایزومالت به طور موفقیت‌آمیزی می‌توانند در فرمولاسیون پاستیل رژیمی غنی شده با هدف بهبود ویژگی‌های کیفی، فیزیکی و بافتی مورد استفاده قرار گیرند.

## ۵-سپاسگزاری

از شرکت دانش بنیان سلامت گستران آرایان به دلیل همکاری‌های علمی و پژوهشی در راستای محقق شدن این تحقیق کمال تشکر را دارد.

- soy flour, feeds, and mixed feeds; 2000, 11<sup>th</sup> ed methods.30-25.01.
- [22] Approve Methods of the American Association of Crude protein- Kjeldahl method, Boric Acid modification. 2000; 11<sup>th</sup> ed methods. 46-12.
- [23] Approve Methods of the American Association of Iron-spectrophotometric Method; 2000, 11<sup>th</sup> ed methods.40-41.03.
- [24] Approve Methods of the American Association of Moisture- Air Oven Methods; 2000, 11<sup>th</sup> ed methods.44-15.02.
- [25] Le-Bail, A., Nicolitch, C., and Vuillod, C. 2010, Fermented frozen dough: impact of pre-fermentation time and offreezing rate for a pre-fermented frozen dough on final volume of the bread, *Food and Bioprocess Technology*, 3 (2), 197-203.
- [26] Afoakwa, E.O., Paterson, A., Fowler, M., and Vieira, J. 2008, Particle size distribution and compositional effects on textural properties and appearance of dark chocolates, *Food Engineering*, 87, 181-90.
- [27] Sun, D. 2008, Computer vision technology for food quality evaluation. Academic Press, New York, 658p.
- [28] Saricoban, C., and Yilmaz, M.T. 2010, Modelling the effects of processing factors on the changes in colour parameters of cooked meatballs using response surface methodology, *World Applied Sciences Journal*, 9, 14-22.
- [29] Purfarzad, A., Haddad Khodaparast, M., Karimi, M., and Mortazavi, A. 2012, Optimizing the gel composition to improve the properties of dough and bread improvers response surface methodology, *Food Science and Technology*, 47 (12), 181-196 (In Persian).
- [30] Akesowan, A. 2009, Quality of reduced-fat chiffon cakes prepared with erythritol-sucralose as replacement for sugar, *Pakistan Journal of Nutrition*, 8 (9), 1383-1386.
- [31] Farahnaki, A., Majzoubi, M., and Mesbahi, G.H. 2009, Properties and applications of hydrocolloids in food and medicine: gelatin,katira, gum Arabic, starch, modified starch and pectin, Publication of Science and Agriculture of Iran, Tehran, 234 p (In Persian).
- [32] Alvarez-Jubete, L., Arendt, E. K., and Gallagher, E. 2010, Nutritive value of pseudocereals and their increasing use as functional gluten-free ingredients, *Trends in Food Science and Technology*, 21 (2), 106-113.
- [33] Szczesniak, A.S. 2002, Texture is a sensory property, *Food Quality and Preference*, 13, 215-225.
- platensis, *Brazilian Journal of Microbiology*, 47, 298-304.
- [11] Rasouli, F., Berenji, S.H., and Lavasani, A.S. 2017, Optimization of Traditional Iranian Ice Cream Formulation Enriched with Spirulina Using Response Surface Methodology, *Journal of Food Technology and Nutrrition*, 14 (3), 15-28 (In Persian).
- [12] Barkallah, M., Dammak, M., Louati, I., Bentati, F., Hadrich, B., Mechichi, T., Ayadi, M.A., Fendri, I., Attia, H., and Abdelkafi, S. 2017, Effect of Spirulina platensis fortification on physicochemical, textural, antioxidant and sensory properties of yogurt during fermentation and storage, *LWT - Food Science and Technology*, 84, 323-330.
- [13] Khazee pool, A., Shahidi, B., Mortazavi, A., and Mohebbi, M. 2013, Formulation of kiwi Gummy candy and effects of different concentrations of agar and guar on moisture content and texture and sensory properties, *Iranian Food Science and Technology Researche Journal*, 10, 27-37 (In Persian).
- [14] Bhat, R., and Karim, A.A. 2009, Ultraviolet irradiation improves gel strength of fish gelatin, *Food Chemistry*, 113, 1160-1164.
- [15] Abbasi, S., and Rahimi, S. 2007, Introduction of an unknown local plant gum: Persian gum, *Flour and Food Industry Magazine*, 4, 42-51 (In Persian).
- [16] Norziah, M., Rashima Romli, S., and Ahmad, M. 2015, Influences of red pitaya fruit puree and gelling agents on the physicomechanical properties and quality changes of gummy confections, *International Journal of Food Science and Technology*, 50, 331-339.
- [17] Fiyouzi, B., Mazaheri tehrani, M., and Khazaii pool, A. 2014, Formulation of date jelly product and condensed whey and its physicochemical and sensory properties. *Iranian Food Science and Technology Researche Journal*, 12 (1), 61-78 (In Persian).
- [18] Marfi, P., Anhê, A., and Telis, V. 2012, Texture and microstructure of gelatin/corn starch-based gummy confections, *Food Biophysics*, 7, 236-243.
- [19] Shahidi, F., Khalilian, S., Mohebi, M., and Fathi, M. 2011, Apple bean formulation and evaluation of different formulas based on sensory characteristics and water activities, *Iranian Journal of Food Science and Technology*, 7 (2), 129-136 (In Prersian).
- [20] Approve Methods of the American Association of Ash- Basic Method; 2000, 11<sup>th</sup> ed methods.08-01.01.
- [21] Approve Methods of the American Association of Crude fat in wheat, corn, and

- Fisheries Sciences University, Bidar, 170 p.
- [44] Jairo Lindarte, A., and Luis-Felipe, G. 2019, Effects of replacing fat by betaglucans from Ganoderma lucidum on batter and cake properties, *Food Science and Technology*, 56, 1.451-461.
- [45] Saniah, K., and Sharifah, M. 2012, The application of Stevia as sugar substitute using response surface methodology, *Trop Agriculture and Food Science*, 40 (1), 23-34.
- [46] Mostolizadeh, S., Moradi, Y., Mortazavi, M.S., Motallebi, A. and Ghaeni, M. 2017, Application effects of Spirulina powder on the fatty acid and amino acid composition of pasta, *Iranian Scientific Fisheries Journal*, 26 (4), 119-130 (In Persian).
- [47] Sozankar, R., Movahed, S., and Ghaighi Nosrati, R. 2018, Enrichment of coated wafer using arthrospira algae powder (*Spirulina platensis*), *Iranian Journal of Nutrition Sciences*, 13 (2), 51-60 (In Persian).
- [48] Salehifar, M., Shahbazi Zade, S., Khosravi Darani, K., Behmadi, H., and Ferdosi, R. 2012, Investigation of the use of *Spirulina platensis* microalgae powder in industrial cookie production, *Iranian Journal of Nutrition Sciences*, 7 (4), 63-72 (In Persian).
- [49] Golmakani, M.T., Moayyedi, M., Raissjalali, A., Pesaran, Y., and Aghajani, A. 2015, Investigation of physicochemical, nutritional, textural, and sensory properties of Iranian Yazdi cupcake enriched with Spirulina (*Arthrospira platensis*), International Conference on Latest Trends in Food, Biological and Ecological Sciences (In Persian).
- [50] Ronda, F., Gamez, M., Blanco, C.A., and Caballero, P.A. 2005, Effects of polyols and nondigestible oligosaccharides on the quality of sugar-free sponge cakes, *Food Chemistry*, 90 (4), 549-555.
- [51] Shourideh, M., Taslimi, A., Azizi, M.H., and Mohammadifar, M.A. 2012, Effects of D-Tagatose and inulin on some physicochemical, rheological and sensory properties of dark chocolate, *International Journal of Bioscience, Biochemistry and Bioinformatics*, 2 (5), 314-319 (In Persian).
- [52] Agustini, T.W., Ma'ruf, W.F., Widayat, W., Suzery, M., Hadiyanto, H., and Benjakul, S. 2016, Application of spirulina platensis on ice cream and soft cheese with respect to their nutritional and sensory perspectives, *Teknologi (Sciences and Engineering)*, 78, 245-251.
- [34] Karimi, M., Sahraiyan, B., Naghipour, F., Sheikholeslami, Z., and Ghiafeh Davoodi, M. 2013, Functional effects of different humectants on dough rheology and flat bread (Barbari) quality, *International Journal of Agriculture and Crop Sciences*, 11 (1), 1209-1213 (In Persian).
- [35] Lubbers, S., and Guichard, E. 2003, The effect of sugars and pectin on flavour release from a fruit pastille model system, *Food Chemistry*, 81, 269-273.
- [36] Sandoval-Castilla, O., Lobato-Calleros, C., Aguirre-Mandujano, E., and Vernon-Carter, E.J. 2004, Microstructure and texture of yogurt as influenced by fat replacers, *International Dairy*, 14, 151-159.
- [37] Batista, A.P., Gouveia, L., Nunes, M.C., Franco, J.M., and Raymundo, A. 2007, Microalgae biomass as a novel functional ingredient in mixed gel systems. In *Gums and Stabilisers for the Food Industry – 14th Edition*. Eds. Williams, P.A., and Phillips, G.O. Royal Society of Chemistry, 488-494.
- [38] Savitha, Y.S., Indrani, D., and Prakash, J. 2008, Effet of sugar with sucralose and maltodextrin on rheological characteristics of wheat flour dough and quality of soft dough and quality of soft dough biscuit, *Journal of Texture Studies*, 39, 605-616.
- [39] Batista, A.P., Ristiana Nunes, M.C., Fradinho, P., Gouveia, L., sabel Sousa, I., Raymundo, A., and Franco, J.M. 2012, Novel foods with microalgal ingredients – Effect of gel setting conditions on the linear viscoelasticity of *Spirulina* and *Haematococcus* gels, *Food Engineering*, 110, 182-189.
- [40] Batista, A.P., Raymundo, A., Sousa, I., and Empis, J. 2006, rheological characterization of coloured oil-in-water food emulsions with lutein and phycocyanin added to the oil and aqueous phases, *Food Hydrocolloids*, 20, 44–52.
- [41] Chronakis, I.S. 2001, Gelation of edible blue-green algae protein isolates (*Spirulina platensis*) thermal transitions, rheological properties, and molecular forces involved, *Bioresource Technology*, 77, 19-24.
- [42] Bescos, P., Estrada, E., and Fresno, A. 2008, Neuroprotection by *Spirulina platensis* protean extract and phycocyanin against iron-induced toxicity in SHSY5Y neuroblastoma cells, *Toxicology in Vitro*, 22, 1496-1502.
- [43] Malik P. 2011, Utilization of *Spirulina* Powder for Enrichment of Ice Cream and Yoghurt, *Karnataka Veterinary Animal and*



## Optimization of Enriched Diet Pastille Formulation Containing *Spirulina Platensis* Microalgae Using Replacement of Sucrose with Stevioside-Isomalt and Gelatin with Persian Gum by Response Surface Methodology (RSM)

**Abdolazimi, M.<sup>1</sup>, Goli, M.<sup>2,3\*</sup>**

1. M. Sc., Department of Food Science & Technology, Isfahan (Khorasan) Branch, Islamic Azad University, Isfahan, Iran.
2. Associate Professor, Department of Food Science & Technology, Isfahan (Khorasan) Branch, Islamic Azad University, Isfahan, Iran.
3. Associate Professor, Laser and Biophotonics in Biotechnologies Research Center, Isfahan (Khorasan) Branch, Islamic Azad University, Isfahan, Iran.

### ABSTRACT

In order to reduce the sugar consumption in the pastille formulation and improve its nutritional value using *Spirulina platensis* microalgae, the effect of sugar replacement with stevioside-isomalt, gelatin replacement with Persian gum and effect of using *spirulina* as a bioactive compound on the physicochemical and textural properties of pastilles were investigated. In order to optimization the production conditions of enriched diet pastille, the response surface method (RSM) in the form of a central composite design were used in 5 levels of sugar replacement with stevia-isomalt (0, 25, 50, 75, 100%), gelatin replacement with persian gum (0, 25, 50, 75, 100%) and *Spirulina* (0, 0.25, 0.50, 0.75, 1%). The results of physicochemical, textural and sensory properties of the selected product were evaluated during 0, 15, 30, 45 and 60 days and compared with the control sample. The results showed that an increase in the percentage of sucrose replacement with stevioside-isomalt and gelatin replacement with persian gum, resulted in an increase and decrease the hardness, respectively. Density and adhesiveness decreased and increased significantly with increasing percentage of sucrose replacement with stevioside-isomalt, respectively. Among the investigated formuls, samples containing 13% sucrose replacement with stevioside-isomalt, 100% gelatin replacement with persian gum and 0.28% *Spirulina*; and 60% sucrose replacement with stevioside-isomalt, 100% gelatin replacement with persian gum and 0.02% *Spirulina* were determined as the best formulation. Comparison between treatments revealed a moisture reduction and density increment of the optimal samples ( $p<0.05$ ), while the hardness of the optimal samples did not significantly change during storage time ( $p>0.05$ ). Results of sensory analysis indicate that control sample had better sensory characteristics (taste, after taste, texture and overall acceptability) than the other samples. The addition of *Spirulina platensis* microalgae as a functional supplement can improve nutritional properties, especially protein and minerals such as iron in the product.

### ARTICLE INFO

#### Article History:

Received 2021/07/06  
Accepted 2021/08/24

#### Keywords:

Pastille,  
*Spirulina platensis*,  
Stevioside,  
Texture properties,  
Sensory characteristics

**DOI:** 10.52547/fsct.19.124.327

**DOR:** 20.1001.1.20088787.1401.19.124.8.5

\*Corresponding Author E-Mail:  
Mgolifood@yahoo.com